REVUE SUISSE DE ZOOLOGIE, 106 (1): 107-164; mars 1999

Aleocharinae della Cina: Parte V (conclusione) (Coleoptera, Staphylinidae)

Roberto PACE
Via Vittorio Veneto 13; I-37032 Monteforte d'Alpone (Verona), Italia.

Aleocharinae from China: Part V (conclusion). (Coleoptera, Staphylinidae). - In this paper further 66 species are described as new to science. These new species belong to following tribes: Oxypodini (54 species), Hoplandriini (6) and Aleocharini (6). Five genera are described as new, assigned to following tribes: Oxypodini (*Platysmarthrusa* n. gen., *Ischyradelia* n. gen. and *Beijingusa* n. gen.), Hoplandriini (*Alloplandria* n. gen.) and Aleocharini (*Ystrixoxygymna* n. gen.).

Key-words: Coleoptera - Staphylinidae - Aleocharinae - Taxonomy - China.

INTRODUZIONE

Con il presente lavoro si conclude la pubblicazione della descrizione delle specie della sottofamiglia Aleocharinae raccolte in Cina dal Dr Ales Smetana del "Centre for Land and Biological Resources Research" di Ottawa e del collega studioso di Staphylinidae Guillaume de Rougemont di Londra.

Le specie note o nuove per la Cina sono elencate nella prima parte di questa stessa serie (PACE 1998a).

La nuove specie appartengono alle tribù Oxypodini, Hoplandriini e Aleocharini. Gli holotypi delle nuove specie sono depositati nel Museo di Storia naturale di Ginevra (MHNG).

OXYPODINI

Platysmarthrusa gen. n. Figg. 1-6

DIAGNOSI. Genere tassonomicamente vicino al genere *Tacata* Blackwelder, 1952 ("olim" *Atacta* Cameron, 1939), in base alla forma dell'edeago e della spermateca, come dell'habitus. Ne è distinto per la ligula più stretta alla base che all'estremià. In *Tacata*, al contrario, la ligula è più larga alla base e strettissima all'estremità. Inoltre il nuovo genere non presenta lunghe setole isolate ai lati del corpo come in *Tacata*.

143° Contributo alla conoscenza delle Aleocharinae.

Manoscritto accettato il 25.03.1998.

DESCRIZIONE. Capo più stretto del pronoto; antenne di 11 antennomeri; tempie marginate; palpi labiali di 3 articoli (fig. 5); ligula divisa in due lunghi lembi divergenti con 3 setole all'apice di ciascuno; palpi mascellari di 4 articoli (fig. 6), con il terzo dilatato; mento con margine anteriore lievemente arcuato all'indietro; processo mesosternale acuto, insinuato tra le mesocoxe che sono tra loro contigue; formula tarsale 5-5-5; primo tarsomero posteriore molto lungo.

TYPUS GENERIS: *Platysmarthrusa chinensis* sp. n.

ETIMOLOGIA. Il nome del nuovo genere significa "Colei che ha un articolo dilatato". Questo articolo dilatato è il terzo dei palpi mascellari. Il genere grammaticale è femminile.

Platysmarthrusa chinensis sp. n. Figg. 1-6

Holotypus ♂, China, Beijing, Songshan, 15.V.1993, de Rougemont leg. (MHNG).

DESCRIZIONE. Lunghezza 4,2 mm. Avancorpo opaco, addome lucido. Corpo bruno-rossiccio con capo e pronoto nero-bruni, elitre con lati esterni e area periscutellare bruni, addome bruno con margine posteriore dei tre uriti liberi basali giallo-rossicci; antenne rossicce; zampe rossicce con tarsi giallo-rossicci. Il capo e il pronoto sono coperti di punteggiatura ombelicata contigua che dà un aspetto rugoso alla superficie. La punteggiatura delle elitre è distinta, posta su un fondo non reticolato come quello dell'addome. Edeago figg. 2-3, spermateca fig. 4, parti boccali figg. 5-6.

Ischyradelia gen. n. Figg. 7-12

DIAGNOSI. Genere affine al precedente *Platysmarthrusa* gen. n. sopra descritto, per l'habitus, l'edeago e la spermateca, ma la ligula non è divisa in due lunghi lembi e con tre setole apicali su ciascuno, ma è bilobata all'estremità, con una robusta setola esterna a ciascun lato. Inoltre il secondo articolo dei palpi mascellari e il primo dei labiali sono nettamente più larghi nel nuovo genere che in *Platysmarthrusa*.

DESCRIZIONE. Habitus simile a quello di Platysmarthrusa gen. n.; palpi labiali di 3 articoli (fig. 11), con il primo corto e largo; palpi mascellari (fig. 12) di 4 articoli con il secondo ben dilatato e il terzo molto largo; mento simile a quello del genere precedente; processo mesosternale acuto; mesocoxe tra loro contigue; formula tarsale 5-5-5; primo tarsomero posteriore lungo.

TYPUS GENERIS: *Ischyradelia tianmuensis* sp. n.

ETIMOLOGIA. Il nome del nuovo genere significa "Robusta e sconosciuta". Il genere grammaticale è femminile.

Ischyradelia tianmuensis sp. n. Figg. 7-12

Holotypus ♂, China, Zhejiang Prov., Lin'an County, ca. 1000 m, W Tianmu Shan N.R., 18.V.1996, J. Cooter leg. (MHNG).

Paratypi: 2 ♀♀, stessa provenienza.

DESCRIZIONE. Lunghezza 4,7 mm. Avancorpo debolmente lucido, addome lucido. Corpo nero con elitre brune; antenne e zampe rossicce. La superficie dell'avancorpo è coperta di punteggiatura profonda e contigua. Lungo il margine posteriore delle
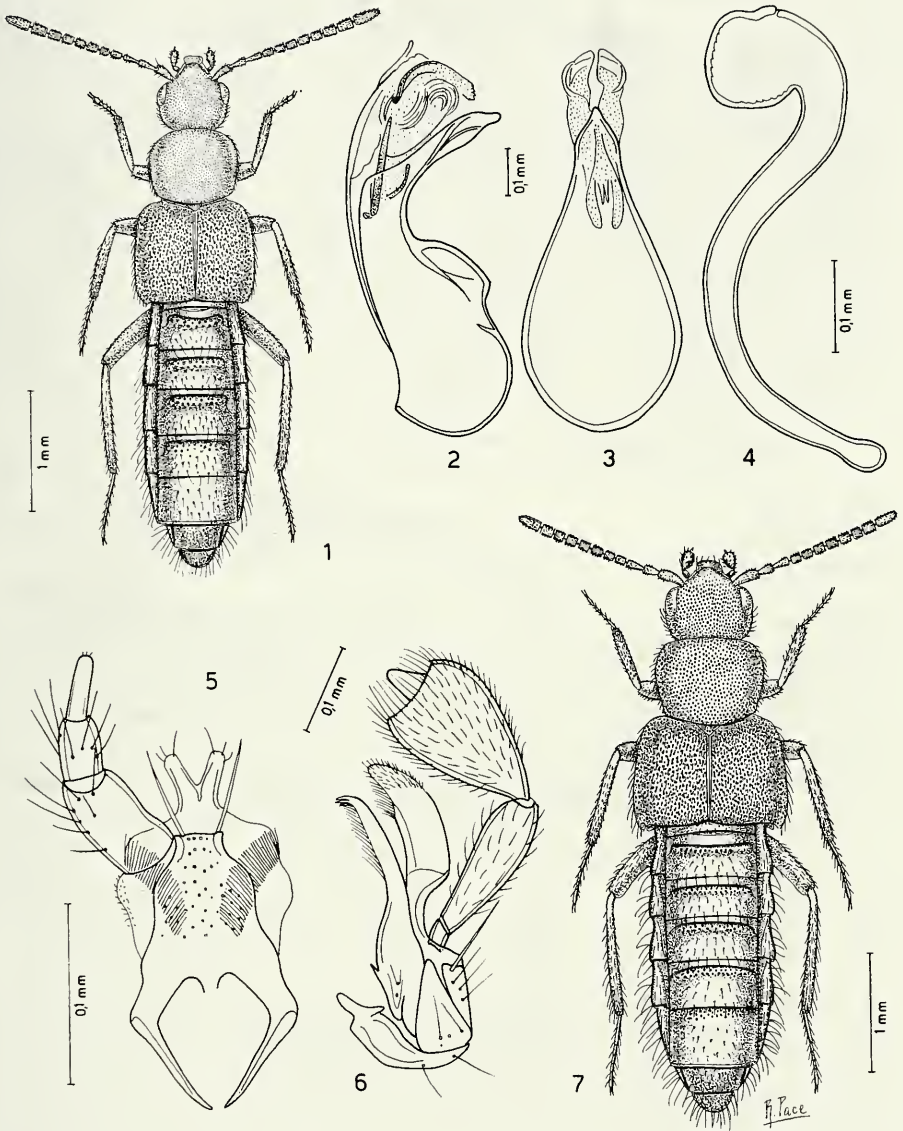
FIGG. 1-7

Habitus, edeago in visione laterale e ventrale, spermateca, labio con palpo labiale e maxilla con palpo mascellare. 1-6: *Platysmarthrusa chinensis* gen. n., sp. n.; 7: *Ischyradelia tianmuensis* gen. n., sp. n.
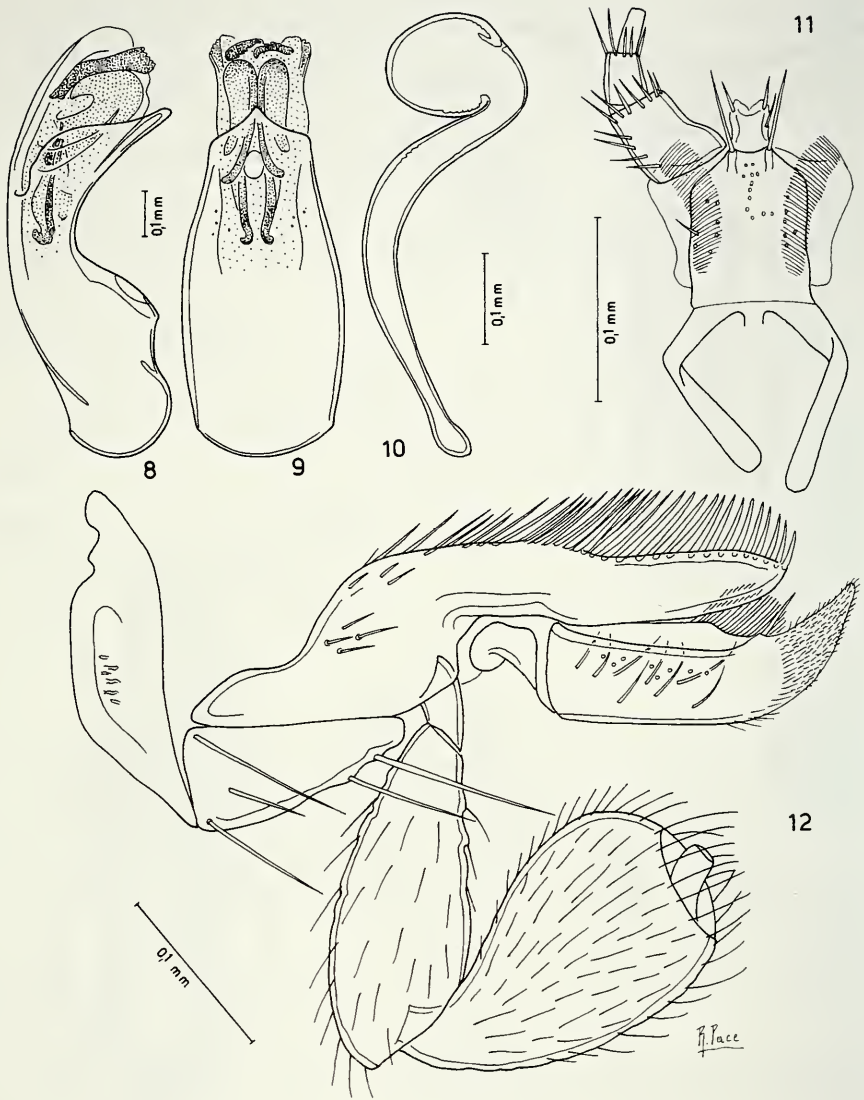
FIGG. 8-12

Edeago in visione laterale e ventrale, spermateca, labio con palpo labiale e maxilla con palpo mascellare. 8-12: *Ischyradelia tianmuensis* gen. n., sp. n.

elitre la punteggiatura è svanita su un fondo non reticolato, come quello degli uroterghi. Edeago figg. 8-9, spermateca fig. 10, parti boccali figg. 11-12.

Beijingusa gen. n. Figg. 13-18

DIAGNOSI. Poiché ha il collo stretto, il nuovo genere è da avvicinare tassonomicamente al genere *Blepharhymenus* Solier, 1849. Per la presenza della ligula intera, di lunghissime mandibole e di pronoto solcato sulla linea mediana e con solchi basali il nuovo genere ne è nettamente distinto.

DESCRIZIONE. Collo stretto; tempie non marginate; mandibole molto lunghe e appuntite (fig. 16); palpi labiali di 3 articoli (fig. 15); ligula intera, a lati paralleli e a punta acuta; palpi mascellari (fig. 18) di 4 articoli; mento con margine anteriore arcuato all'indietro (fig. 17); processo mesosternale acuto, insinuato tra le mesocoxe che sono tra loro contigue; formula tarsale 5-5-5; primo tarsomero posteriore un po' allungato.

TYPUS GENERIS: *Beijingusa rougemonti* sp. n.

ETIMOLOGIA. Il nuovo genere prende nome dalla città di Beijing (Pekino) e significa "Celei che è di Beijing". Il genere grammaticale è femminile.

Beijingusa rougemonti sp. n. Figg. 13-18

Holotypus ♀, China, Beijing, Xiaolongmen, 1100-1500 m, 1.VII.1993, de Rougemont leg. (MHNG).

DESCRIZIONE. Lunghezza 2,3 mm. Corpo lucido e bruno-rossiccio con margini laterale e posteriore del pronoto e addome giallo-rossicci; antenne giallo-rossicce; zampe gialle. Sulla superficie corporea non si osserva reticolazione. Il capo presenta una fossetta frontale mediana allungata e tubercoletti fini sparsi sulla sua superficie. La punteggiatura del pronoto è svanita e quella delle elitre è profonda e netta alla base e gradualmente svanita e superficiale posteriormente fino a una fascia marginale posteriore senza punteggiatura. Gli uroterghi sono coperti di tubercoletti salienti. Spermateca fig. 14.

Ocalea chinensis sp. n. Figg. 19-21

Holotypus ♂, China, Sichuan, Gongga Shan, above camp 3, 3050 m, 22.VII.1994, A. Smetana leg. (MHNG).

DESCRIZIONE. Lunghezza 5,6 mm. Corpo lucido e nero; antenne nere con i tre antennomeri basali rossicci; zampe rossicce. La reticolazione della superficie del capo e delle elitre è distinta, quella del pronoto è svanita e quella dell'addome è assente. La punteggiatura del capo è molto svanita, quella del pronoto è ombelicata e molto superficiale e quella delle elitre è distinta. Distinti tubercoletti coprono gli uroterghi. La punteggiatura del fondo dei solchi trasversi basali degli uroterghi è molto svanita. Edeago figg. 20-21.

COMPARAZIONI. La nuova specie ha habitus simile a quello di *O. himalayica* Cameron, 1939, dell'India, ma il pronoto e le elitre sono meno trasversi e l'edeago della nuova specie ha dimensioni maggiori, è meno arcuato al lato ventrale e ha apice, in visione ventrale, strettissimo a forma di appendice e non cortissimo a forma di ogiva come in *himalayica*.
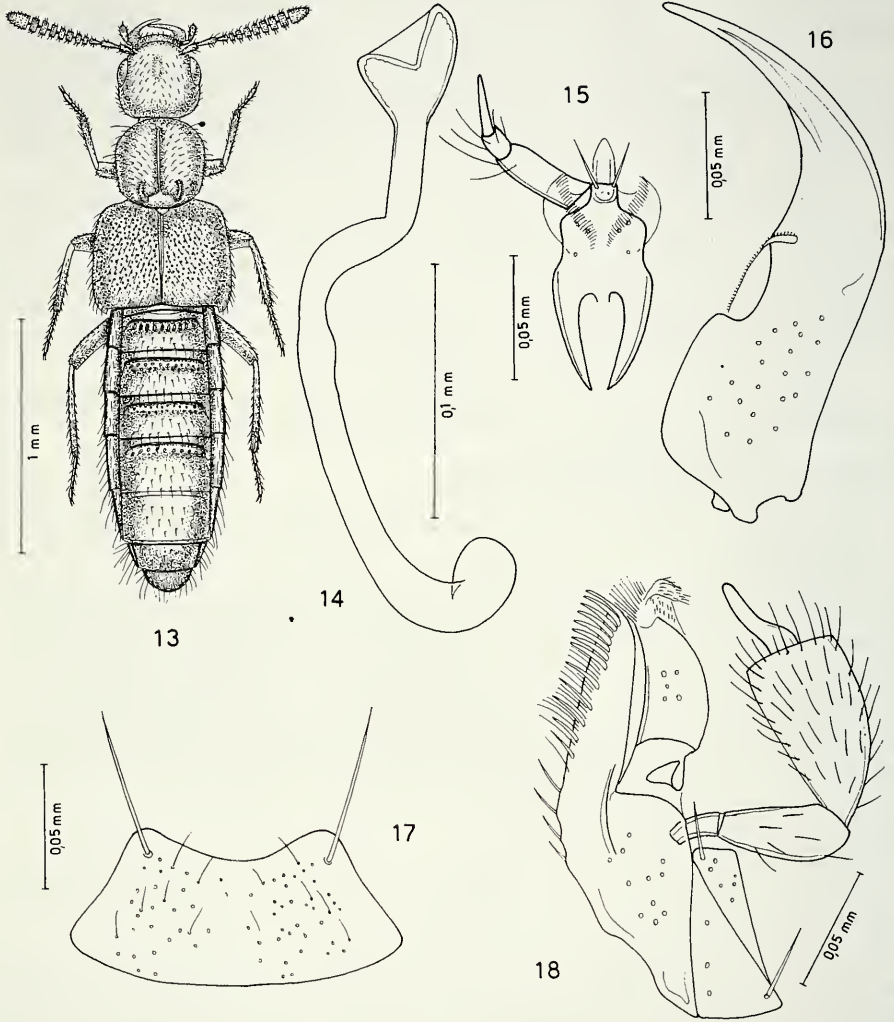
FIGG. 13-18

Habitus, spermateca, labio con palpo labiale, mandibole, mento e maxilla con palpo mascellare. 13-18: *Beijingusa rougemonti* gen. n., sp. n.

Blepharhymenus divisus sp. n. Figg. 22-25

Holotypus ♂, China, Yunnan, Ruili, ca. 700 m, 3.II.1993, de Rougemont leg. (MHNG).
Paratypi: 5 es., stessa provenienza.

DESCRIZIONE. Lunghezza 4,1 mm. Corpo lucidissimo e nero-bruno con capo bruno; antenne rossicce con i due antennomeri basali giallo-rossicci; zampe brune con tarsi rossicci e base dei femori medi e posteriori gialla. Sulla superficie corporea non vi è traccia di reticolazione. La punteggiatura del capo è ombelicata e netta sul disco, svanita sulla regione occipitale e assente sulla fascia mediana, quella del pronoto è profonda e assente a ciascun lato e quella delle elitre è distinta. La superficie dello stretto collo è rugosa. Il solco mediano del pronoto è profondo. Tubercoletti distinti sono sparsi sulla superficie degli uroterghi. Edeago figg. 23-24, spermateca fig. 25.

COMPARAZIONI. La nuova specie è facilmente distinguibile anche esternamente da *B. nepalensis* Pace, 1992, del Nepal, per la presenza di un solco mediano del pronoto, assente in *nepalensis*. Il bulbo distale della spermateca della nuova specie è più largo e la parte prossimale è avvolta in un minore numero di spire.

Blepharhymenus zhejiangensis sp. n. Figg. 26-28

Holotypus ♂, China, Zhejiang, Tianmushan, 29.IV.1993, de Rougemont leg. (MHNG).

DESCRIZIONE. Lunghezza 3,7 mm. Corpo lucido e bruno-rossiccio con base delle elitre e i tre uroterghi basali gialli e con gli uriti liberi 4° e 5° neri; antenne giallo-rossicce; zampe gialle con metà distale dei femori medi e posteriori oscurati di bruno. Sul corpo non esiste reticolazione. La punteggiatura del capo e delle elitre è quasi indistinta, quella del pronoto è distinta e gradualmente più profonda all'indietro. Il pronoto è senza solco mediano, ha una fossetta mediana posteriore ed è privo di punteggiatura lungo il margine posteriore. Edeago figg. 27-28.

COMPARAZIONI. La nuova specie differisce da *B. nepalensis* Pace, 1992, del Nepal, per il pronoto meno lungo e robustamente punteggiato solo sulla metà posteriore (robustamente punteggiato su tutta la superficie del pronoto in *nepalensis*), per la punteggiatura indistinta delle elitre (metà basale delle elitre fortemente punteggiata in *nepalensis*) e per la taglia minore (4,2 mm in *nepalensis*). Non è noto il maschio di *nepalensis*.

Blepharhymenus rougemonti sp. n. Figg. 29-32

Holotypus ♂, China, Zhejiang, Tianmushan, 29.IV.1993, de Rougemont leg. (MHNG).
Paratypi: 5 ♀♀, stessa provenienza.

DESCRIZIONE. Lunghezza 3,4 mm. Corpo lucido e bruno con uriti liberi 3°, 4° e base del 5° nero-bruni; antenne rossicce con l'undicesimo antennomero giallo-rossiccio; zampe rossicce. La reticolazione non è presente sulla superficie del corpo. La punteggiatura del capo è molto svanita e fine, quella del pronoto è estremamente svanita sulla metà anteriore e profonda su quella posteriore, quella delle elitre è netta nell'area periomerale, sul resto della superficie delle elitre è assente. Tubercoletti fini sono sparsi sugli uroterghi. Edeago figg. 30-31, spermateca fig. 32.

COMPARAZIONI. La nuova specie è simile a *B. zejiangensis* sp. n. sopra descritta, ma il corpo è meno slanciato, il pronoto ha un debole e largo solco mediano (solco
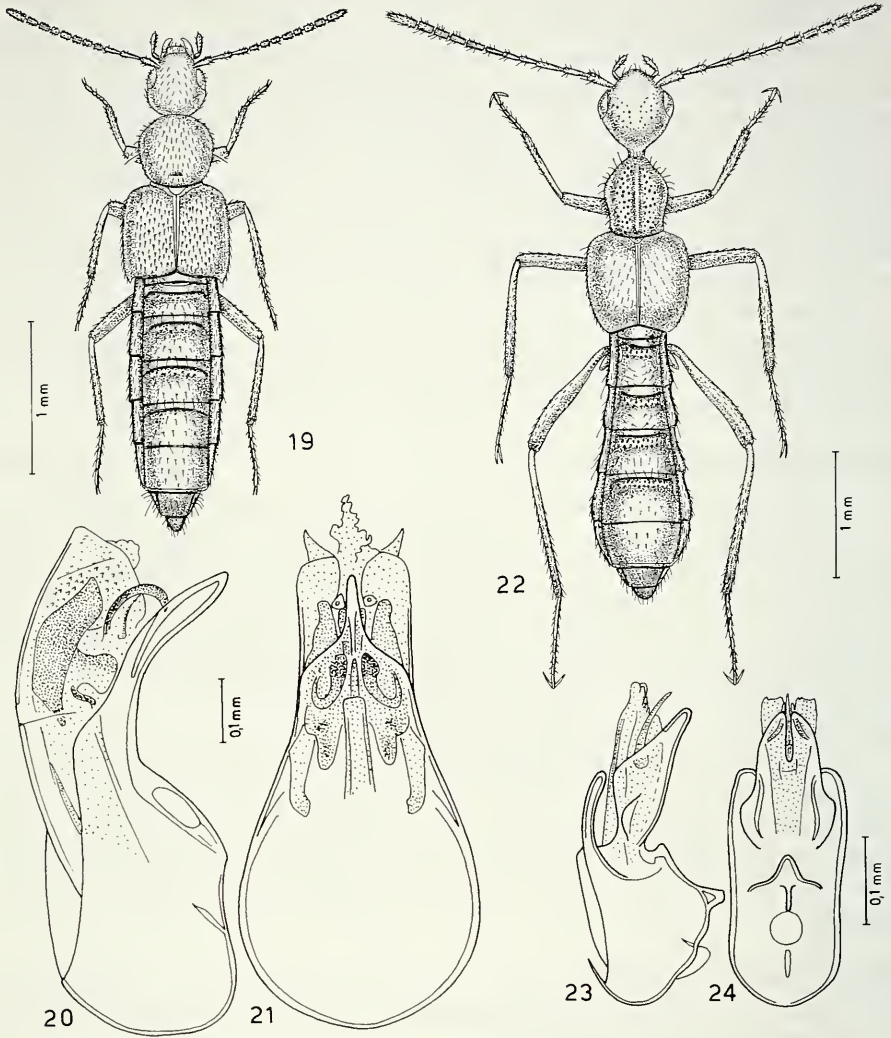
FIGG. 19-24

Habitus ed edeago in visione laterale e ventrale. 19-21: *Ocalea chinensis* sp. n.; 22-24: *Blepharhymenus divisus* sp. n.
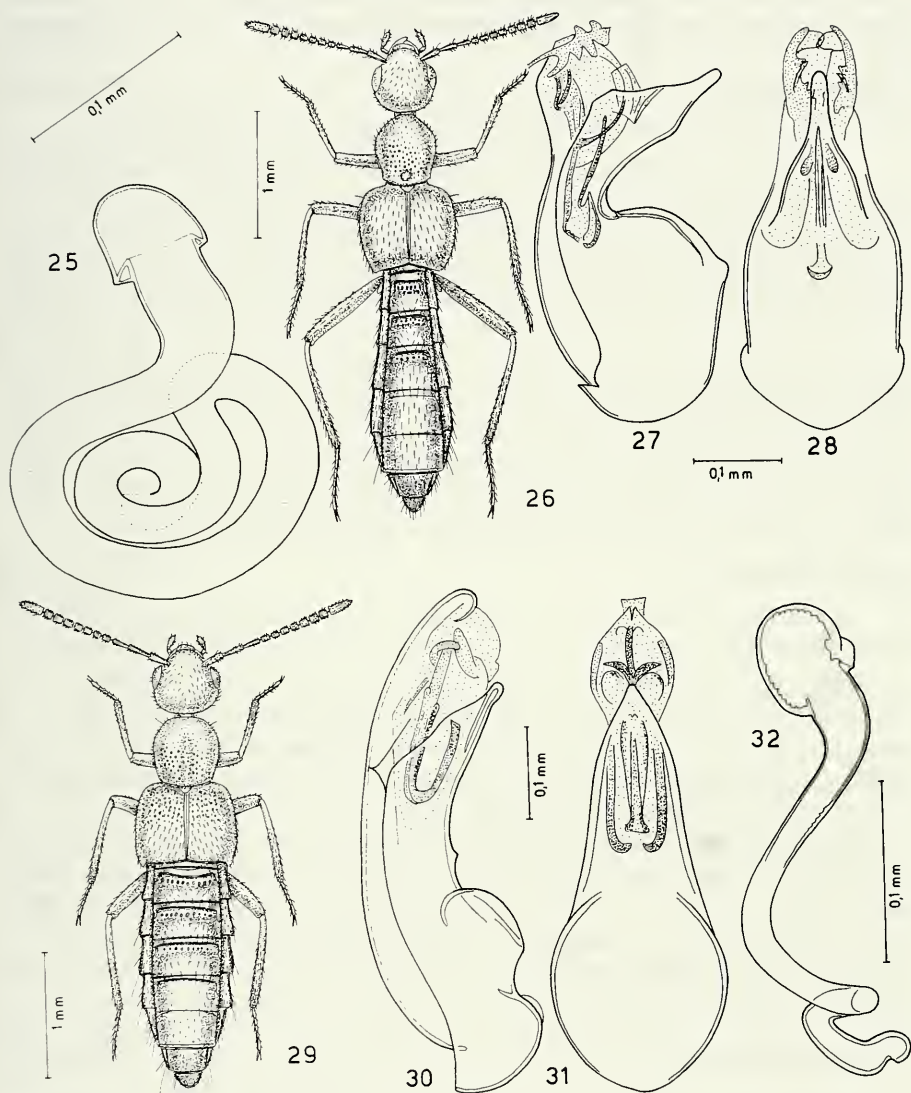
FIGG. 25-32

Spermateca, habitus ed edeago in visione laterale e ventrale. 25: *Blepharhymenus divisus* sp. n.; 26-28: *Blepharhymenus zhejiangensis* sp. n.; 29-32: *Blepharhymenus rougemonti* sp. n.

mediano assente, ma con una fossetta mediana posteriore in *zhejiangensis*) e la metà basale delle elitre è nettamente punteggiata (punteggiatura indistinta in *zhejiangensis*).

Calodera hebeiensis sp. n. Figg. 33-34

Holotypus ♀, China, Hebei, Chengde, 3.X.1993, de Rougemont leg. (MHNG).

DESCRIZIONE. Lunghezza 2,7 mm. Corpo debolmente opaco e nero; antenne brune; zampe anteriori giallo-brune, le medie e le posteriori sono bruno-rossicce. La reticolazione del capo è distinta, quella del pronoto e delle elitre è netta e quella dell'addome è indistinta. I tubercoletti che coprono la superficie del capo e dell'addome sono fini e fitti, quelli del pronoto e delle elitre sono confusi nella reticolazione. Spermateca fig. 34.

COMPARAZIONI. La nuova specie è simile a *C. protensa* Mannerheim, 1830, a diffusione paleartica occidentale. Ma è da essa distinta per le antenne interamente brune (e non con i tre antennomeri basali rossicci come in *protensa*) per il quarto antennomero lungo quanto largo (e non distintamente trasverso come in *protensa*), per l'assenza di un superficiale solco mediano del pronoto e per le zampe anteriori giallo-brune e non brune con ginocchia e tarsi gialli come le zampe medie e posteriori.

Apimela chinensis sp. n. Figg. 35-36

Holotypus ♀, China, Sichuan, Gongga Shan, above camp 3, 3050 m, 22.VII.1994, A. Smetana leg. (MHNG).

DESCRIZIONE. Lunghezza 2,8 mm. Corpo lucido e bruno; antenne brune con i tre antennomeri basali bruno-rossicci; zampe rossicce. La reticolazione sul capo e sul pronoto è assente, quella sulle elitre è distinta e quella sull'addome è estremamente svanita. La punteggiatura del capo e del pronoto è fitta e distinta, quella delle elitre è confusa nella reticolazione. Spermateca fig. 36.

COMPARAZIONI. La nuova specie è distinta da *A. lineola* (Kraatz, 1859), ampiamente diffusa in oriente, per la taglia corporea maggiore, per l'undicesimo antennomero lungo quanto i tre antennomeri immediatamente precedenti compresi insieme (undicesimo antennomero lungo quanto i due antennomeri immediatamente precedenti considerati insieme in *lineola*) e per la spermateca molto più sviluppata, con parte distale molto più lunga e più larga.

Apimela rufigaster sp. n. Figg. 37-39

Holotypus ♂, Hong Kong, Tai Po, VII.1996, de Rougemont leg. (MHNG).

DESCRIZIONE. Lunghezza 1,8 mm. Corpo lucido con capo ed elitre bruni, pronoto bruno-rossiccio e addome rossiccio; antenne brune con i tre antennomeri basali rossicci; zampe gialle. L'avancorpo è privo di reticolazione, l'addome è superficialmente reticolato. La punteggiatura del capo e del pronoto è fine, fitta e distinta. I tubercoletti della superficie delle elitre sono confusi tanto sono fitti e contigui tra loro. Tubercoletti superficiali sono sparsi sulla superficie degli uroterghi. Edeago figg. 38-39.

COMPARAZIONI. Per avere gli occhi lunghi quanto le tempie, il pronoto poco trasverso e l'addome interamente rossiccio, la nuova specie è chiaramente distinta da

A. lineola (Kraatz, 1859), che ha occhi più corti delle tempie, pronoto ben trasverso e addome rossiccio con una fascia posteriore bruna.

Smetanaetha smetanai sp. n. Figg. 40-43

Holotypus ♂, China, Sichuan, Gongga Shan, above camp 2, 2800 m, 25.VII.1994, A. Smetana leg. (MHNG).
Paratypi: 8 es., stessa provenienza, ma anche in data 21.VII.1994.

DESCRIZIONE. Lunghezza 3,4 mm. Corpo debolmente lucido e bruno; antenne brune con i tre antennomeri basali giallo-rossicci; zampe rossicce. Il capo e il pronoto non hanno reticolazione che sulle elitre è svanita. I tubercoletti della superficie del capo e del pronoto sono molto salienti, quelli delle elitre sono distinti. L'addome è coperto di pubescenza fitta e sericea. Edeago figg. 41-42, spermateca fig. 43.

COMPARAZIONI. La nuova specie è distinta da *S. tuberculicollis* Pace, 1992, del Nepal, essenzialmente per la spermateca di minori dimensioni, nonostante la taglia corporea sia maggiore (2,8 mm in *tuberculicollis*). Il bulbo distale della spermateca è di un terzo minore e la parte prossimale della stessa spermateca, escluso il bulbo distale, è stretta e nettamente più lunga dell'asse maggiore del bulbo distale (parte prossimale nettamente più corta dell'asse maggiore del bulbo distale, in *tuberculicollis*). Inoltre l'apice dell'edeago, in visione ventrale, è ad ogiva, mentre in *tuberculicollis* è ad arco schiacciato.

Smetanaetha chinensis sp. n. Figg. 44-47

Holotypus ♂, China, Zhejiang, Tianmushan, 29.IV.1993, de Rougemont leg. (MHNG).
Paratypus: 1 ♀, stessa provenienza.

DESCRIZIONE. Lunghezza 3,4 mm. Corpo debolmente lucido e bruno con addome rossiccio avente la fascia longitudinale mediana dei tre uroterghi basali e gli uriti liberi 4° e 5° bruni; antenne brune; zampe giallo-rossicce. Il capo e il pronoto non hanno reticolazione che sulle elitre è distinta. L'avancorpo è coperto di tubercoletti fitti e salienti. L'addome è coperto di pubescenza fitta e sericea. Edeago figg. 45-46, spermateca fig. 47.

COMPARAZIONI. Il particolare colore dell'addome e la taglia dell'edeago maggiore di un terzo sono i caratteri più evidenti che distinguono la nuova specie da quelle note. L'armatura genitale interna dell'edeago della nuova specie è robusta e molto sviluppata: ciò non si riscontra affatto nelle altre due specie note *S. tuberculicollis* Pace, 1992 e *S. smetanai* sp. n.

Stichoglossa pekinensis sp. n. Figg. 48-50

Holotypus ♂, China, Beijing, B.N.U., Malaise trap, 10.VI-10.VII.1993, de Rougemont leg. (MHNG).

DESCRIZIONE. Lunghezza 2,9 mm. Corpo lucido e nero-bruno con elitre bruno-rossicce e addome nero avente il margine posteriore del primo urotergo libero bruno-rossiccio; antenne brune con i due antennomeri basali e la base del terzo giallo-rossicci; zampe rossicce. La reticolazione del capo è molto svanita, quella del pronoto, delle elitre e dei quattro uroterghi basali e la metà basale del quinto senza reticolazione, la
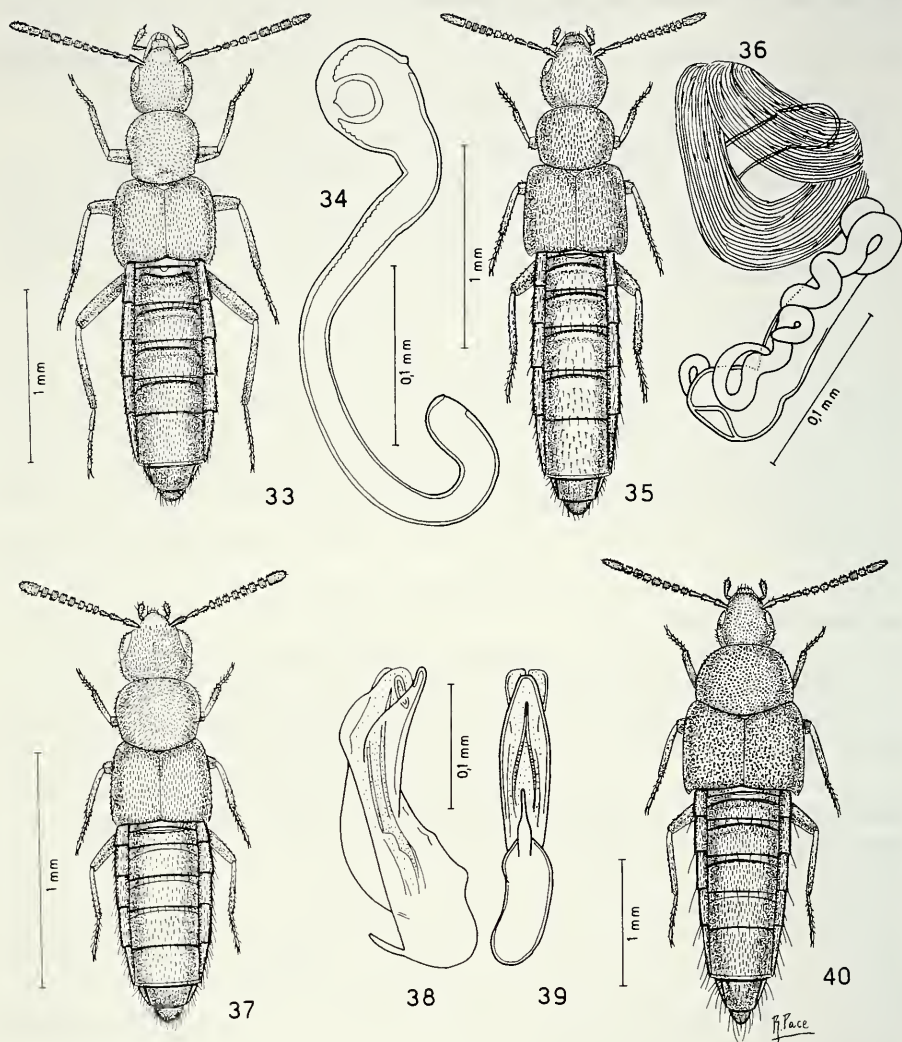
FIGG. 33-40

Habitus, spermateca ed edeago in visione laterale e ventrale. 33-34: *Calodera hebeiensis* sp. n.; 35-36: *Apimela chinensis* sp. n.; 37-39: *Apimela rufigaster* sp. n.; 40: *Smetanaetha smetanai* sp. n.

reticolazione della metà distale del quinto urotergo libero è distinta e quella presso il margine posteriore è netta. La punteggiatura del capo è distinta. Il pronoto mostra d'essere coperto di tubercoletti distinti ai suoï lati esterni, mentre mostra tubercoletti svaniti sulla fascia longitudinale mediana. Le elitre presentano la stria suturale all'indietro deviata lievemente verso l'esterno e tubercoletti distinti, come quelli dell'addome. Edeago figg. 49-50.

COMPARAZIONI. La nuova specie è ben distinta da *S. lateralis* Cameron, 1939, dell'India, per gli antennomeri 4° e 5° lunghi quanto larghi e non più lunghi che larghi come in *lateralis*, per l'assenza di un'impressione trasversa mediana posteriore del pronoto e per il sesto urotergo libero del maschio con un solo tubercolo mediano e non coperto di granuli allungati come in *lateralis*.

Ocyusa beijingensis sp. n. Figg. 51-54

Holotypus ♂, China, Beijing, Xishan, IX.1992, de Rougemont leg. (MHNG).
Paratypi: 4 ♀♀, China, Beijing, Panshan, 8.V.1993, de Rougemont leg.; 4 ♀♀, China, Beijing, Xiaolongmen, 1100-1500 m, 1.VII.1993, de Rougemont leg.

DESCRIZIONE. Lunghezza 2,8 mm. Avancorpo debolmente opaco, addome lucido. Corpo nero pece con addome nero; antenne nero-pece con i due antennomeri basali gialli; zampe gialle. La reticolazione del capo è nettissima, quella del pronoto e delle elitre è confusa per formare una rugosità della superficie. I tubercoletti della superficie del capo sono poco distinti, quelli del pronoto e delle elitre sono indistinti. La pubescenza dell'addome è fitta e sericea. Edeago figg. 52-53, spermateca fig. 54.

COMPARAZIONI. La nuova specie è simile a *O. himalayica* Cameron, 1939, dell'India, ma ha il pronoto quasi lungo quanto largo e privo di impressione mediana posteriore (e non nettamente trasverso e con una piccola impressione mediana posteriore come in *himalayica*). Inoltre la lunghezza dell'undicesimo antennomero della nuova specie raggiunge quasi la lunghezza dei tre precedenti antennomeri compresi insieme (undicesimo antennomero lungo quanto i due precedenti compresi insieme in *himalayica*).

Ocyusa cooteri sp. n. Figg. 55-56

Holotypus ♀, China, Zhejiang Prov., Lin'an County, ca. 1000 m, W Tianmu Shan N.R., 18.V.1996, J. Cooter leg. (MHNG).

DESCRIZIONE. Lunghezza 2,0 mm. Corpo lucido e giallo-rossiccio comprese le antenne e le zampe. La reticolazione del pronoto è netta, quella delle elitre è svanita. I tubercoletti che coprono la superficie del capo sono fitti e superficiali, quelli del pronoto e delle elitre sono distinti e quelli dell'addome sono salienti. Spermateca fig. 56.

COMPARAZIONI. La nuova specie è ben distinta da *O. himalayica* Cameron, 1939, dell'India, per il quarto antennomero molto trasverso e per l'undicesimo più lungo dei tre precedenti compresi insieme e non come in *himalayica* che ha il quarto antennomero lungo quanto largo e l'undicesimo lungo quanto i due precedenti compresi insieme.

Trichoglossina smetanai sp. n. Figg. 57-60

Holotypus ♂, China, Sichuan, Langmusi, 3500-3600 m, 13.VII.1994, A. Smetana leg. (MHNG).
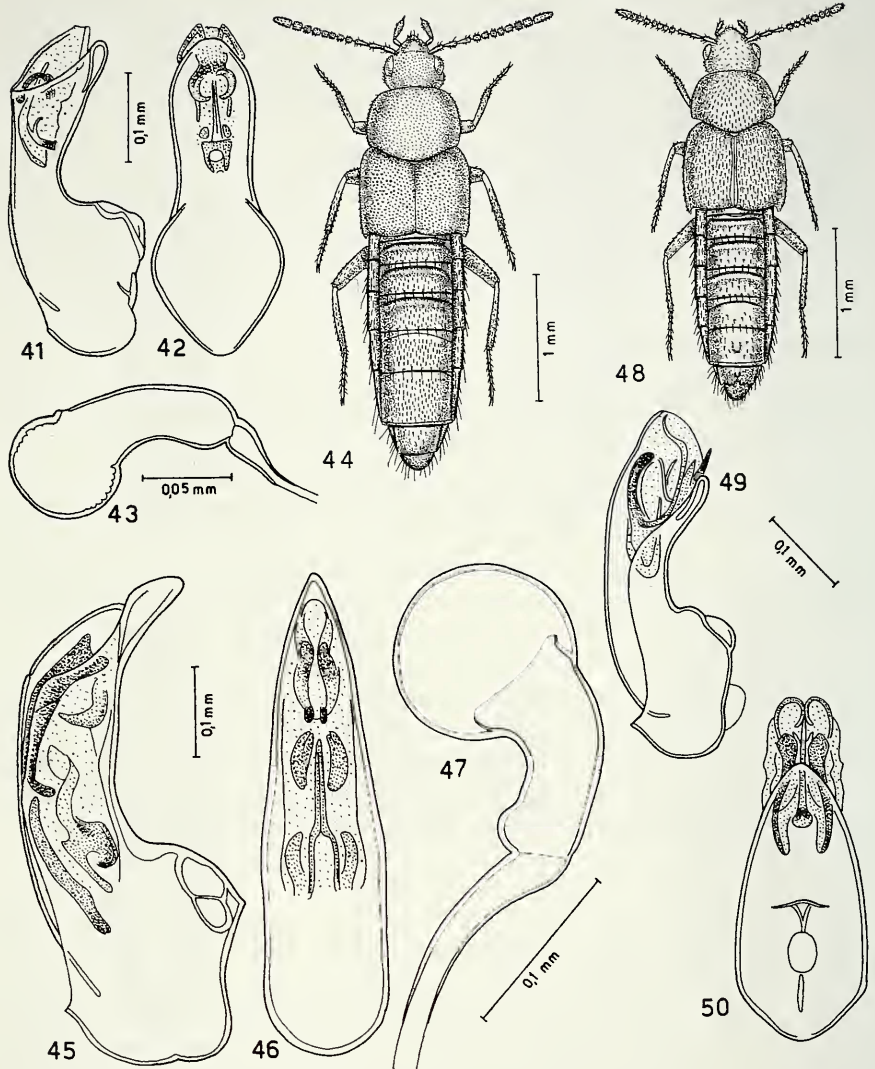
FIGG. 41-50

Edeago in visione laterale e ventrale, spermateca e habitus. 41-43: *Smetanaetha smetanai* sp. n.; 44-47: *Smetanaetha chinensis* sp. n.; 48-50: *Stichoglossa pekinensis* sp. n.
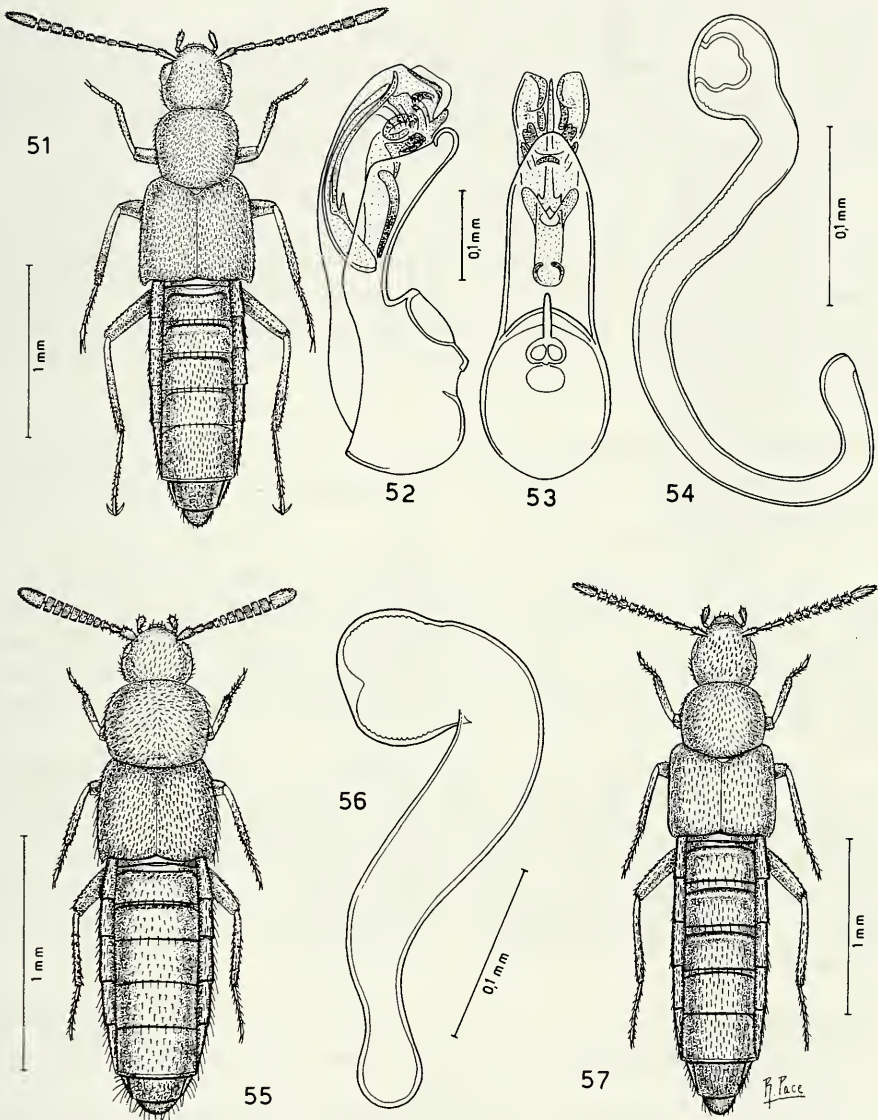
FIGG. 51-57

Habitus, edeago in visione laterale e ventrale e spermateca. 51-54: *Ocyusa beijingensis* sp. n.; 55-56: *Ocyusa cooteri* sp. n.; 57: *Trichoglossina smetanai* sp. n.

Paratypi: 7 es., stessa provenienza; 1 ♂, China, Gansu, M. ts 25 Km E Xiahe, 2805-2925 m, 3.VIII.1994, A. Smetana leg.

DESCRIZIONE. Lunghezza 2,9 mm. Corpo debolmente lucido e bruno con pronoto giallo-bruno; antenne brune con i due antennomeri basali gialli; zampe giallo-rossicce. Il capo è privo di reticolazione che sul resto del corpo è svanita. I tubercoletti della superficie del capo sono salienti, quelli del pronoto e delle elitre sono svaniti e quelli del pronoto sono distinti. Edeago figg. 58-59, spermateca fig. 60.

COMPARAZIONI. La nuova specie, in base alla forma della spermateca e dell'edeago, è affine a *T. nepalicola* Pace, 1984a, del Nepal, ma ha corpo meno robusto ed elitre meno ridotte rispetto al pronoto. L'introflessione apicale del bulbo distale della spermateca della nuova specie è larga e appuntita e stretta e con estremità distale arrotondata in *nepalicola*. L'edeago della nuova specie è sinuato al lato preapicale ventrale (in visione laterale) e più profondamente arcuato al lato ventrale (edeago non sinuato in *nepalicola*).

Trichoglossina parasmetenai sp. n. Figg. 61-64

Holotypus ♂, China, Xinlong Shan, ca. 70 Km S Lanzhou, 2225-2380 m, 7.VIII.1994, A. Smetana leg. (MHNG).

Paratypi: 5 ♀♀, stessa provenienza.

DESCRIZIONE. Lunghezza 2,9 mm. Corpo lucido e bruno con capo, pronoto ed estremità addominale giallo-bruni; antenne gialle sfumate di bruno verso l'estremità distale; zampe giallo-brune. La reticolazione del capo è assente, quella del pronoto e dell'addome è estremamente svanita e quella delle elitre è superficiale. L'intera superficie corporea è coperta di tubercoletti salienti. Edeago figg. 62-63, spermateca fig. 64.

COMPARAZIONI. La nuova specie per il pronoto molto più stretto in avanti che all'indietro e per le elitre particolarmente lunghe, si distingue esternamente da *T. nepalicola* Pace, 1984a, del Nepal, e da *T. smetanai* sp. n. sopra descritta, che hanno il pronoto rispettivamente più stretto all'indietro e appena più stretto in avanti che all'indietro. L'edeago ampiamente sinuato al lato ventrale e il ridotto bulbo distale della spermateca, con larga introflessione apicale, distinguono ulteriormente la nuova specie dalle due citate.

Trichoglossina laetula sp. n. Figg. 65-66

Holotypus ♀, China, Sichuan, Gongga Shan, above camp 2, 2800 m, 25.VII.1994, A. Smetana leg. (MHNG).

DESCRIZIONE. Lunghezza 4,2 mm. Corpo lucido e bruno con capo, pronoto ed estremità addominale bruno-rossicci; antenne rossicce sfumate di bruno verso l'apice; zampe rossicce. La reticolazione del capo è distinta, quella del pronoto e dell'addome è assente e quella delle elitre è svanita. L'intera superficie corporea è coperta di tubercoletti salienti e fitti. Spermateca fig. 66.

COMPARAZIONI. La spermateca della nuova specie è simile a quella di *T. franzi* (Pace, 1984a), del Nepal, ma il bulbo distale di quella della nuova specie è grande il doppio e la scultura reticolare interna della stessa spermateca è molto estesa nella nuova
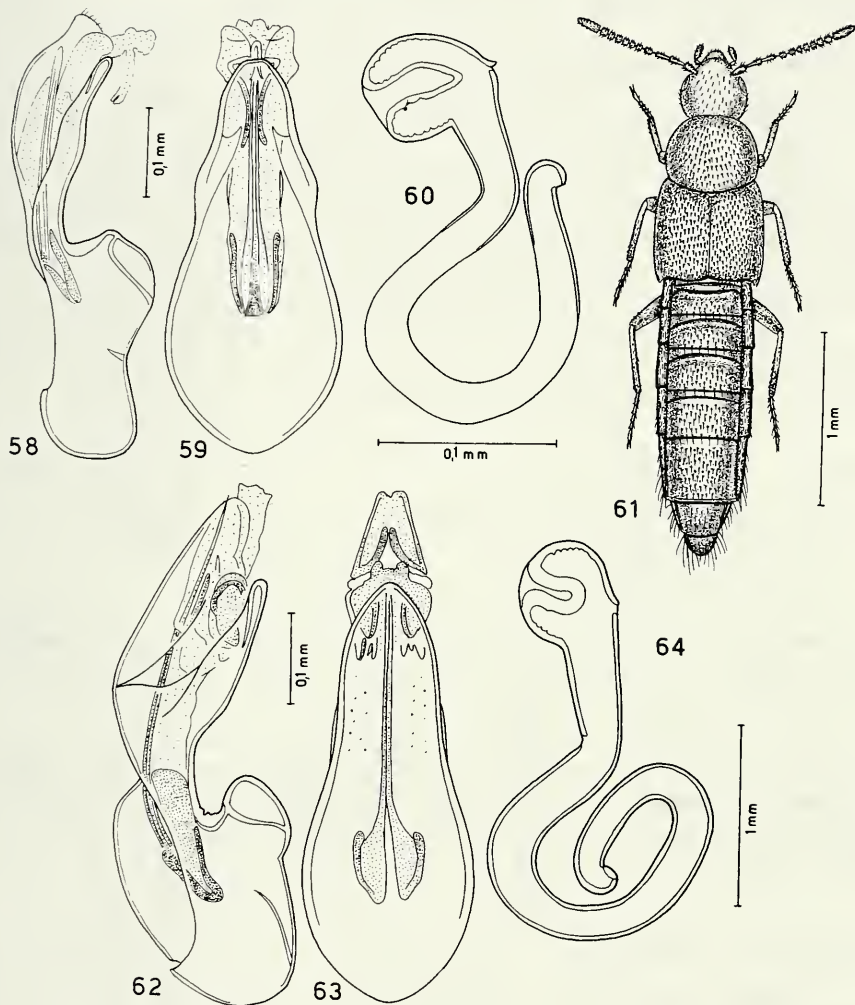
FIGG. 58-64

Edeago in visione laterale e ventrale, spermateca e habitus. 58-60: *Trichoglossina smetanai* sp. n.; 61-64: *Trichoglossina parasmetanai* sp. n.

specie e ridotta in *franzi*. Le elitre della nuova specie sono più strette e più ridotte rispetto quelle di *franzi*.

Trichoglossina sichuanensis sp. n. Figg. 67-68

Holotypus ♀, China, Sichuan, Gongga Shan, above camp 2, 2800 m, 25.VII.1994, A. Setana leg. (MHNG).

DESCRIZIONE. Lunghezza 4,2 mm. Corpo lucidissimo e bruno con capo e metà basale degli uroterghi liberi 3°, 4° e 5° nero-bruni e con metà distale degli stessi uroterghi e l'apice addominale rossicci; antenne bruno-rossicce con i tre antennomeri basali e l'undicesimo giallo-rossicci; zampe rossicce. Sulla superficie del corpo non vi è presenza di reticolazione, ma vi sono fitti tubercoletti salienti. Spermateca fig. 68.

COMPARAZIONI. Il pronoto è molto stretto in avanti e il grandissimo bulbo distale della spermateca, privo di profonda introflessione apicale, sono caratteri che da soli permettono di distinguere la nuova specie da quelle note.

Oxypoda (s. str.) **contraria** sp. n. Figg. 69-72

Holotypus ♂, China, Gansu, Xilong Shan, ca. 70 Km S Lanzhou, 2225-2380 m, 7.VIII. 1994, A. Smetana leg. (MHNG).
Paratypi: 8 es., stessa provenienza.

DESCRIZIONE. Lunghezza 2,7 mm. Corpo debolmente lucido e nero pece; antenne nere con antennomero basale bruno; zampe rossicce. L'avancorpo è coperto di reticolazione svanita e di tubercoletti fitti e superficiali. L'addome mostra una pubescenza fitta e sericea. Edeago figg. 70-71, spermateca fig. 72.

COMPARAZIONI. La nuova specie è distinta da *O. himalayica* Cameron, 1939, dell'India, per il pronoto meno trasverso, per l'edeago meno ricurvo al lato ventrale e per la parte prossimale della spermateca molto lunga, con estremità ricurva in direzione contraria, con una larga introflessione apicale del bulbo distale della stessa spermateca (introflessione stretta in *himalayica*).

Oxypoda (s. str.) **regina** sp. n. Figg. 79-81

Holotypus ♂, China, Gansu, Dalijia Shan, 46 Km w Linxia, 2980 m, 10.VII.1994, A. smetana leg. (MHNG).

DESCRIZIONE. Lunghezza 4,0 mm. Corpo lucido e bruno; antenne bruno-rossicce con i cinque antennomeri basali rossicci; zampe rossicce. La reticolazione della superficie del capo è assente, quella del pronoto è molto svanita e quella delle elitre è distinta. L'addome è coperto di pubescenza fitta e sericea. Svaniti sono i tubercoletti che coprono la superficie del corpo. Edeago figg. 80-81.

COMPARAZIONI. L'ampia curvatura ventrale dell'edeago della nuova specie e l'apice dello stesso organo non diviso, distinguono la nuova specie da *O. himalayica* Cameron, 1939, dell'India. Esternamente la nuova specie si distingue da essa per avere il pronoto chiaramente meno trasverso ed elitre meno larghe.
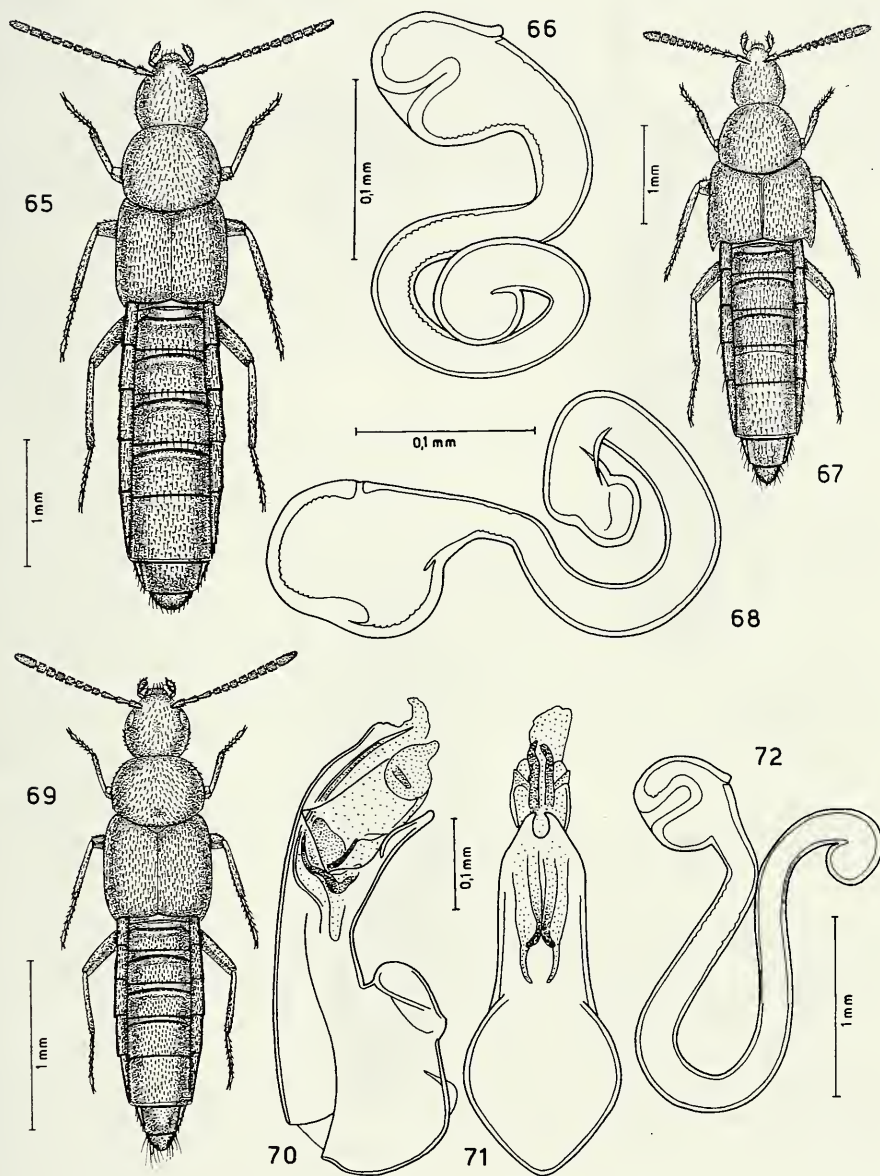
FIGG. 65-72

Habitus, spermateca ed edeago in visione laterale e ventrale. 65-66: *Trichoglossina laetula* sp. n.; 67-68: *Trichoglossina sichuanensis* sp. n.; 69-72: *Oxypoda* (s. str.) *contraria* sp. n.
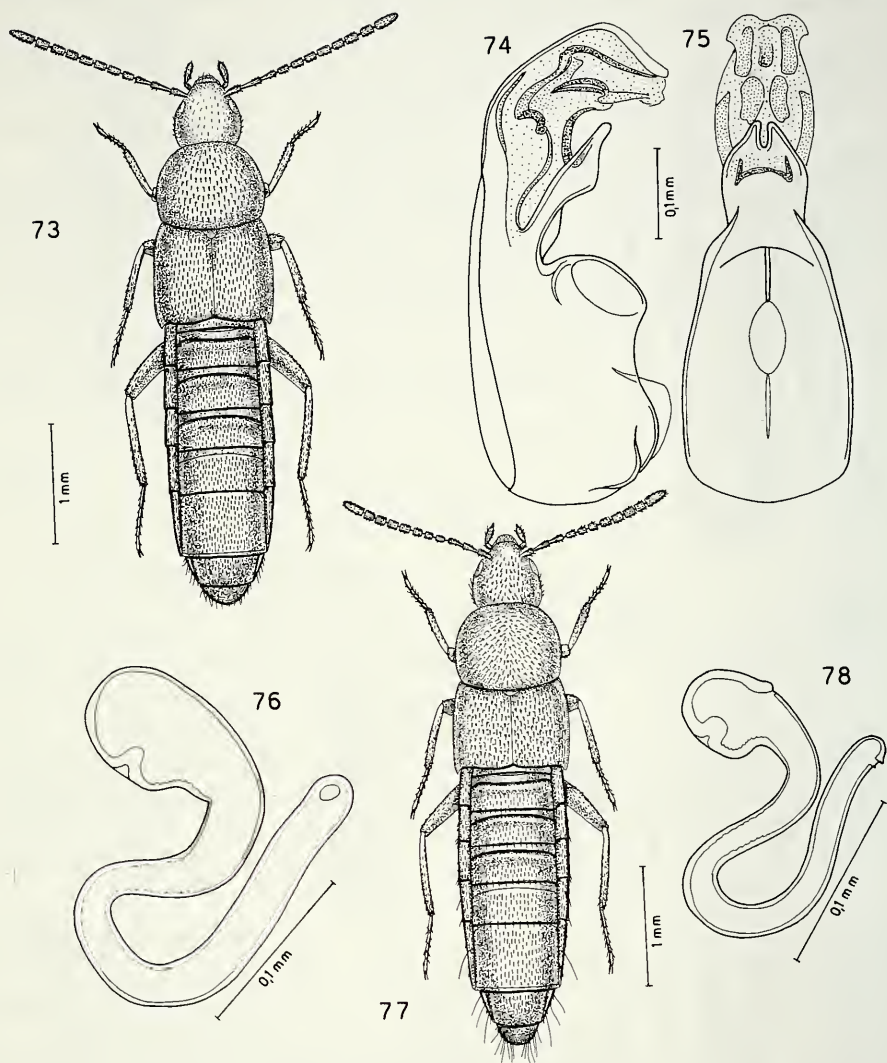
FIGG. 73-78

Habitus, edeago in visione laterale e ventrale e spermateca. 73-78: *Oxypoda* (s. str.) *morosa* Cameron.

Oxypoda (s. str.) **deprehendens** sp. n. Figg. 82-84

Holotypus ♂, China, Sichuan, Gongga Shan, above camp 2, 2800 m, 26.VII.1994, A. Smetana leg. (MHNG).
Paratypus: 1 ♂, stessa provenienza.

Descrizione. Lunghezza 2,8 mm. Corpo debolmente lucido e bruno; antenne brune con l'antennomero basale giallo-bruno; zampe rossicce. La reticolazione del capo e delle elitre è svanita, quella delle elitre è distinta. Tubercoletti superficiali coprono la superficie del corpo. Edeago figg. 82-83.

Comparazioni. Il robusto edeago, con armatura genitale interna complessa e ben sviluppata, e con apice largamente arrotondato, sono caratteri che permettono di distinguere la nuova specie da *O. himalayica* Cameron, 1939, che ha armatura genitale dell'edeago esile e apice dello stesso organo ogivale e diviso.

Oxypoda (s. str.) **precaria** sp. n. Figg. 85-86

Holotypus ♀, China, Beijing, Panshan, 8.V.1993, de Rougemont leg. (MHNG).
Paratypus: 1 ♀, stessa provenienza.

Descrizione. Lunghezza 3,7 mm. Corpo lucido e bruno con capo bruno scuro e addome nero avente il margine posteriore dei due uroterghi basali rossiccio; antenne brune con l'antennomero basale rossiccio e il secondo bruno-rossiccio; zampe rossicce. La reticolazione del capo e del pronoto è superficiale, quella delle elitre è distinta. I tubercoletti della superficie del corpo sono poco distinti. Spermateca fig. 86.

Comparazioni. La nuova specie è distinta da *O. himalayica* Cameron, 1939, per la parte prossimale della spermateca poco prolungata e non ricurva all'estremità e per l'introflessione apicale del bulbo distale della stessa spermateca, larga e profonda (stretta in *himalayica*).

Oxypoda (s. str.) **yonghaensis** sp. n. Figg. 87-88

Holotypus ♀, China, Yonghai, ca. 20 Km SW Yuzhou, 2700-2800 m, 9.VIII.1994, A. Smetana leg. (MHNG).

Descrizione. Lunghezza 4,7 mm. Corpo lucido e nero-bruno; antenne brune con i tre antennomeri basali rossicci; zampe anteriori e medie giallo-brune con femori bruni, posteriori brune con tarsi giallo-bruni. Sul corpo la reticolazione è assente. Tubercoletti superficiali coprono la superficie del corpo. Spermateca fig. 88.

Comparazioni. La larga introflessione apicale del bulbo distale della spermateca e la corta parte prossimale dello stesso organo sono caratteri sufficienti a distinguere la nuova specie da *O. himalayica* Cameron, 1939, che ha strettissima introflessione apicale del bulbo distale della spermateca e parte prossimale dello stesso organo molto lunga e descrivente una mezza spira.

Oxypoda (s. str.) **xiahensis** sp. n. Figg. 89-90

Holotypus ♀, China, Gansu, M. ts 25 Km E Xiahe, 3000 m, 5.VIII.1994, A. Smetana leg. (MHNG).

Descrizione. Lunghezza 4,1 mm. Corpo lucido e bruno, antenne comprese; zampe giallo-brune. La reticolazione dell'avancorpo è svanita. I tubercoletti della
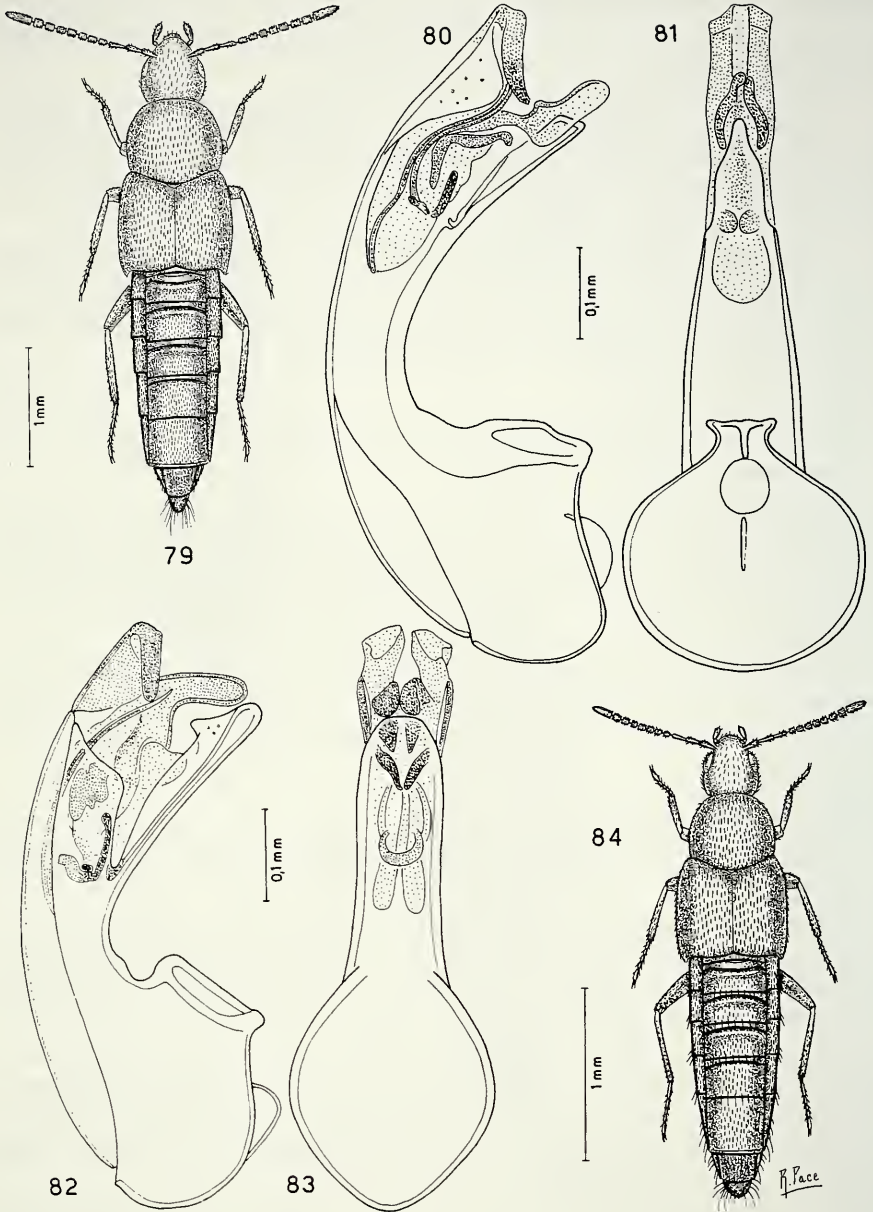
FIGG. 79-84

Habitus ed edeago in visione laterale e ventrale. 79-81: *Oxypoda* (s. str.) *regina* sp. n.; 82-84: *Oxypoda* (s. str.) *deprehendens* sp. n.

superficie del capo sono poco distinti, quelli del pronoto e delle elitre sono salienti. Spermateca fig. 90.

COMPARAZIONI. E' essenzialmente grazie alla forma della spermateca che è possibile distinguere la nuova specie da *O. himalayica* Cameron, 1939. Infatti quella della nuova specie ha bulbo distale non distintamente ellittico come in *himalayica* e con introflessione apicale larga, e non strettissima come in *himalayica*. Inoltre la parte restante della spermateca della nuova specie è sottile, con microscultura interna su area limitata, mentre in *himalayica* essa non esiste.

Oxypoda (Podoxya) hsingicola sp. n. Figg. 91-94

Holotypus ♂, China, Gansu, Pass btw Hezuo & Amqog, 3300 m, 12.VII.1994, A. Smetana leg. (MHNG).

DESCRIZIONE. Lunghezza 2,6 mm. Corpo lucido e bruno pece con estremità addominale bruno-rossiccia; antenne brune con antennomero basale giallo-rossiccio e il successivo bruno-rossiccio; zampe gialle con femori rossicci. Sulla superficie del corpo non esiste reticolazione, tranne che sul pronoto dove è estremamente svanita. Tubercoletti distinti e fitti coprono la superficie del corpo. Edeago figg. 92-93, spermateca fig. 94.

COMPARAZIONI. In base all'habitus e alla forma della spermateca, la nuova specie sembra affine a *O. subsericea* Cameron, 1939, dell'India e del Nepal. Se ne distingue per l'introflessione del bulbo distale della spermateca appena distinto e non profondo e larghissimo come in *subsericea*, e per l'edeago più sviluppato con corta "crista apicalis", con bozza nel fondo della curvatura ventrale (assente in *subsericea*) e per l'apice dell'edeago stesso, in visione ventrale, a punta ogivale e non acuta come in *subsericea*.

ETIMOLOGIA. Il nome della specie nuova significa "Abitatrice dei passi montani" e deriva dal sostantivo cinese "hsing" che significa passo montano.

Oxypoda (Podoxya) subhsingicola sp. n. Figg. 95-98

Holotypus ♂, China, Sichuan, Langmusi, 3500-3600 m, 13.VII.1994, A. Smetana leg. (MHNG).

Paratypi: 2 ♂♂ e 4 ♀♀, stessa provenienza; 37 es., China, Gansu, M. ts 25 Km E Xiahe, 2805-2925 m et 3000 m, 3-5.VIII.1994, A. Smetana leg.; 1 ♀, China, Gansu, Pass btw Hezuo & Amqog, 3300 m, 12.VII.1994, A. Smetana leg.

DESCRIZIONE. Lunghezza 3,3 mm. Corpo lucido e bruno pece; antenne brune con i tre antennomeri basali bruno-rossicci; zampe rossicce. La reticolazione del capo è svanita, quella del pronoto e delle elitre è distinta. Tubercoletti distinti coprono la superficie del corpo. Edeago figg. 96-97, spermateca fig. 98.

COMPARAZIONI. La nuova specie per i caratteri della spermateca e dell'edeago, sembra affine a *O. hsingicola* sp. n. sopra descritta, ma l'addome è fortemente ristretto all'indietro, l'edeago ha un'armatura genitale interna molto dilatata distalmente e la spermateca ha parte prossimale visibilmente più corta.
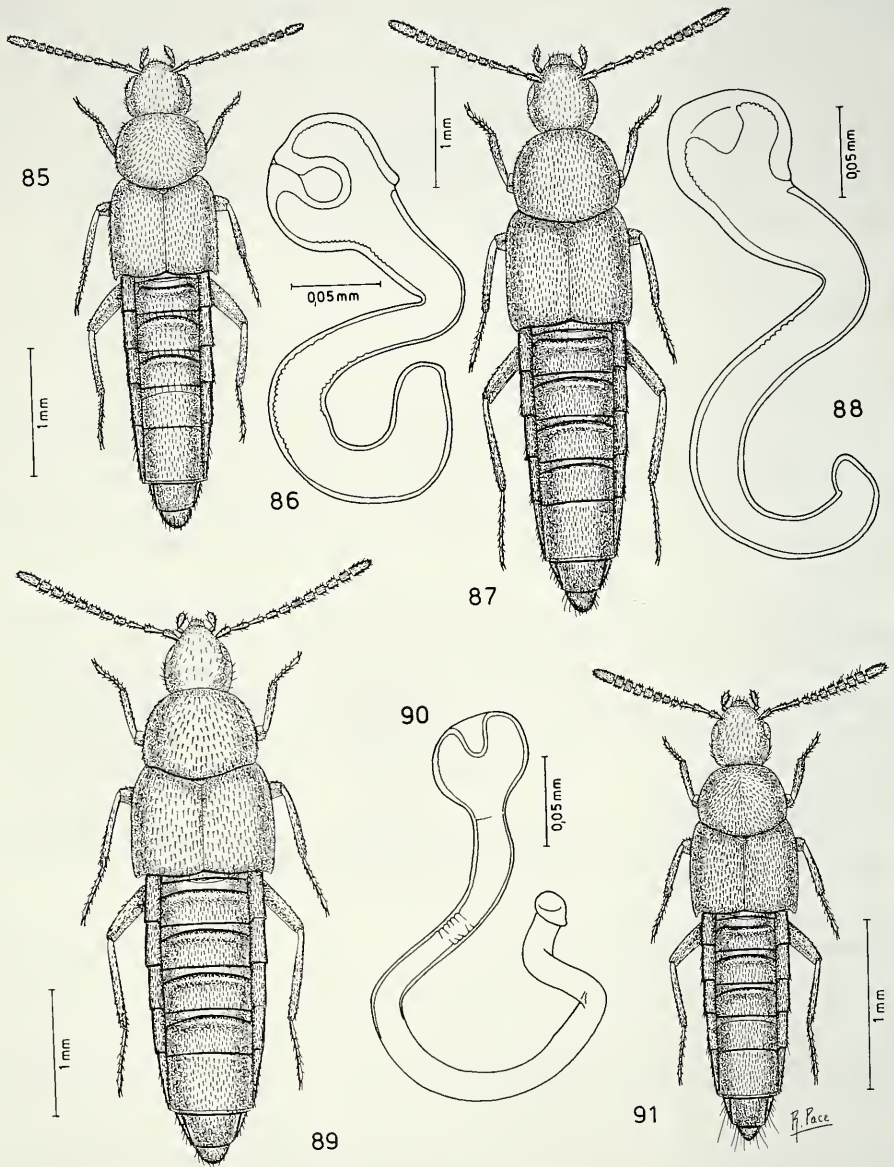
FIGG. 85-91

Habitus e spermateca. 85-86: *Oxypoda* (s. str.) *precaria* sp. n.; 87-88: *Oxypoda* (s. str.) *yong-haensis* sp. n.; 89-90: *Oxypoda* (s. str.) *xiahensis* sp. n.; 91: *Oxypoda (Podoxya) hsingicola* sp. n.
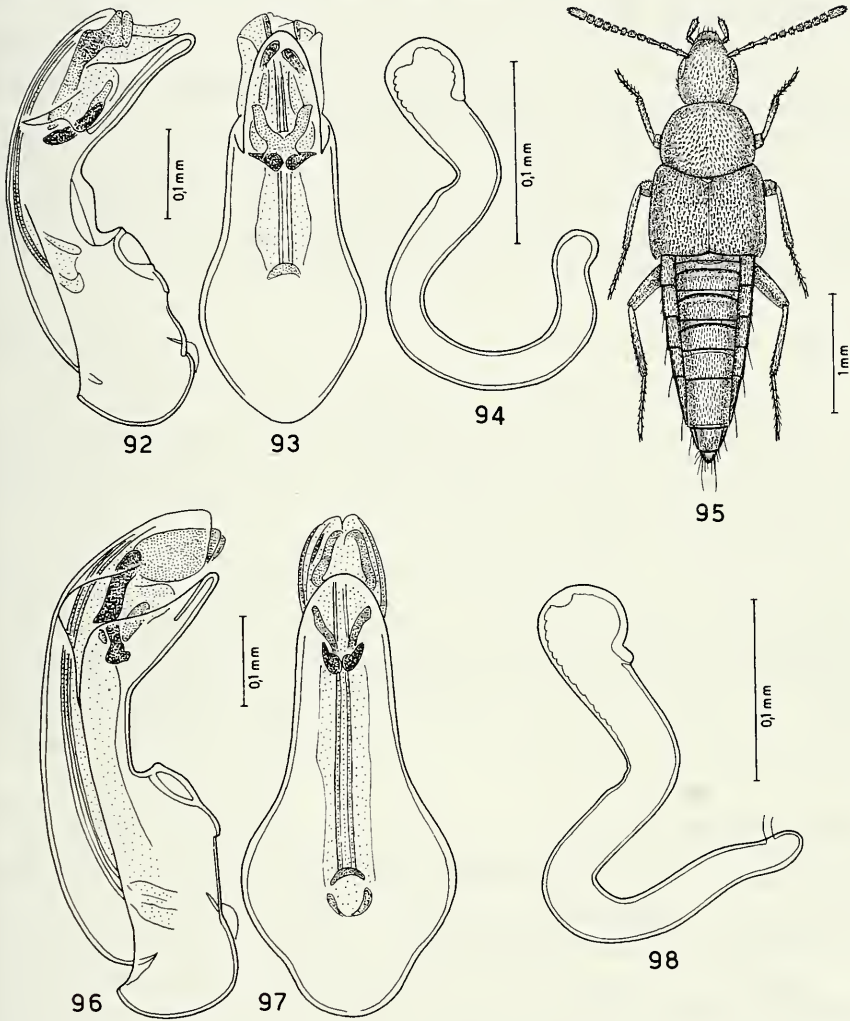
FIGG. 92-98

Edeago in visione laterale e ventrale, spermateca e habitus. 92-94: *Oxypoda (Podoxya) hsingicola* sp. n.; 95-98: *Oxypoda (Podoxya) subhsingicola* sp. n.

Oxypoda (Podoxya) neohsingicola sp. n. Figg. 124-125

Holotypus ♀, China, Sichuan, Gongga Shan, above camp 3, 3300-3350 m, 23.VII.1994, A. Smetana leg. (MHNG).

Descrizione. Lunghezza 4,1 mm. Corpo lucido e bruno; antenne brune con i due antennomeri basali bruno-rossicci; zampe gialle. La reticolazione e i tubercoletti della superficie corporea sono distinti. Spermateca fig. 125.

Comparazioni. La forma della spermateca induce a ipotizzare che la nuova specie è affine alle due precedentemente descritte: *O. hsingicola* sp. n. e *O. subhsingicola* sp. n.. Il bulbo distale della spermateca della nuova specie è molto più sviluppato che nelle due specie citate e l'introflessione apicale dello stesso bulbo distale è sì breve come nelle due specie a confronto, ma molto largo alla base.

Oxypoda (Podoxya) subneglecta sp. n. Figg. 99-101

Holotypus ♂, China, Zhejiang, Hangzhou, 27.IV.1993, de Rougemont leg. (MHNG).

Descrizione. Lunghezza 3,8 mm. Corpo debolmente lucido e bruno scuro con elitre bruno-rossicce e con margine posteriore dei tre uroterghi basali rossiccio; antenne nere con antennomero basale bruno; zampe rossicce. L'intero corpo è coperto da fitta pubescenza sericea. Edeago figg. 100-101.

Comparazioni. A giudicare dalla forma dell'edeago, la nuova specie sembra presentare affinità tassonomiche con *O. smetanaiana* Pace, 1992, del Nepal, ma il quarto antennomero della nuova specie è trasverso (lungo quanto largo in *smetanaiana*) e l'edeago è più largamente e meno profondamente ricurvo al lato ventrale (profondamente e strettamente arcuato in *smetanaiana*). Inoltre la robusta e corta spina dell'armatura genitale interna dell'edeago di *smetanaiana* è assente nell'edeago della nuova specie, sostituita da una lunga lamina.

Oxypoda (Podoxya) shang sp. n. Figg. 102-105

Holotypus ♂, China, Beijing, Xiaolongmen, 1100-1500 m, 1.X.1993, de Rougemont leg. (MHNG).

Paratypi: 1 ♀, stessa provenienza; 2 ♂♂ e 3 ♀♀, Beijing, Dong Ling Shan, 1900 m, leaf litter *Quercus & Alnus*, 1.VII.1993, de Rougemont leg.

Descrizione. Lunghezza 2,1 mm. Corpo debolmente lucido e bruno scuro con estremità addominale giallo-bruna; antenne brune con antennomero basale giallo; zampe rossicce. Il capo è privo di reticolazione che sul pronoto e sulle elitre è svanita. Tubercoletti superficiali coprono la superficie del corpo. Edeago figg. 103-104, spermateca fig. 105.

Comparazioni. La forma della spermateca della nuova specie permette forse di riscontrare affinità tassonomiche con *O. subsericea* Cameron, 1939, dell'India, ma l'introflessione apicale del bulbo distale della stessa spermateca è più profonda e più stretta nella nuova specie e la parte prossimale dello stesso organo descrive una spira completa, mentre in *subsericea* ne descrive una incompleta. Inoltre la spermateca della nuova specie ha taglia nettamente minore. L'edeago della nuova specie presenta

maggiori differenze rispetto quello di *subsericea*: è meno sviluppato e meno largo, in visione ventrale, ed è privo di robusta armatura genitale interna.

ETIMOLOGIA. La nuova specie prende nome dalla dinastia Shang, la prima della Cina.

Oxypoda (Demosoma) salamannai sp. n. Figg. 106-109

Holotypus ♂, China, Sichuan, Langmui, 3500-3600 m, 13.VII.1994, A. Smetana leg. (MHNG).

Paratypi: 1 ♂ e 1 ♀, China, Gansu, M. ts 25 Km E Xiahe, 2865-2925 m, 3. VIII.1994, A. Smetana leg.

DESCRIZIONE. Lunghezza 2,7 mm. Corpo lucido e bruno con pronoto, margine posteriore dei tre uroterghi basali e estremità addominale rossicci; antenne giallo-brune con i tre antennomeri basali giallo-rossicci; zampe giallo-rossicce. La reticolazione del capo è assente, quella del pronoto e delle elitre è svanita. Tubercoletti superficiali coprono la superficie del corpo. Spermateca fig. 107, edeago fig. 108-109.

COMPARAZIONI. Per la forma dell'edeago, la nuova specie mostrerebbe affinità con *O. exoleta* Erichson, 1839, a diffusione paleartica occidentale, ma le elitre della nuova specie sono più corte del pronoto (elitre poco più lunghe del pronoto in *exoleta*) e il pronoto è meno trasverso. L'armatura genitale interna dell'edeago della nuova specie ha due lamine di cui una ampiamente ricurva, mentre è tozza e larghissima in *exoleta*. Inoltre la parte prossimale della spermateca della nuova specie è corta (lunga e avvolta a spirale in *exoleta*).

ETIMOLOGIA. La nuova specie è dedicata al Prof. Giovanni Salamanna dell'Università di Genova che per tanti anni è stato direttore delle publicazioni della Società Entomologica Italiana.

Oxypoda (Demosoma) gansuicola sp. n. Figg. 110-112

Holotypus ♂, China, Gansu, Xinlong Sham, ca. 70 Km S Lanzhou, 2225-2380 m, 7.VIII. 1994, A. Smetana leg. (MHNG).

DESCRIZIONE. Lunghezza 2,9 mm. Corpo lucido e bruno con pronoto, margine posteriore degli uroterghi ed estremità addominale bruno-rossicci; antenne bruno-rossicce con i tre antennomeri basali giallo-rossicci; zampe giallo rossicce. Sul capo tubercoletti superficiali e sul pronoto e sulle elitre distinti stanno su una superficie non reticolata. Edeago figg. 111-112.

COMPARAZIONI. L'edeago della nuova specie mostrerebbe affinità con quello di *O. song* Pace, 1993, pure della Cina, ma è snello e stretto in visione ventrale, l'armatura genitale interna è meno robusta e la sua "crista apicalis" è corta (edeago robusto e largo, con lunga "crista apicalis" in *song*). Inoltre la nuova specie ha pronoto poco trasverso ed elitre lunghe quanto il pronoto (pronoto molto trasverso ed elitre più lunghe del pronoto in *song*).

Oxypoda (Demosoma) gansuensis sp. n. Figg. 113-115

Holotypus ♂, China, Gansu, Dalijia Shan, 46 Km W Linxia, 2980 m, 10.VII.1994, A. Smetana leg. (MHNG).

Paratypus: 1 ♂, stessa provenienza.
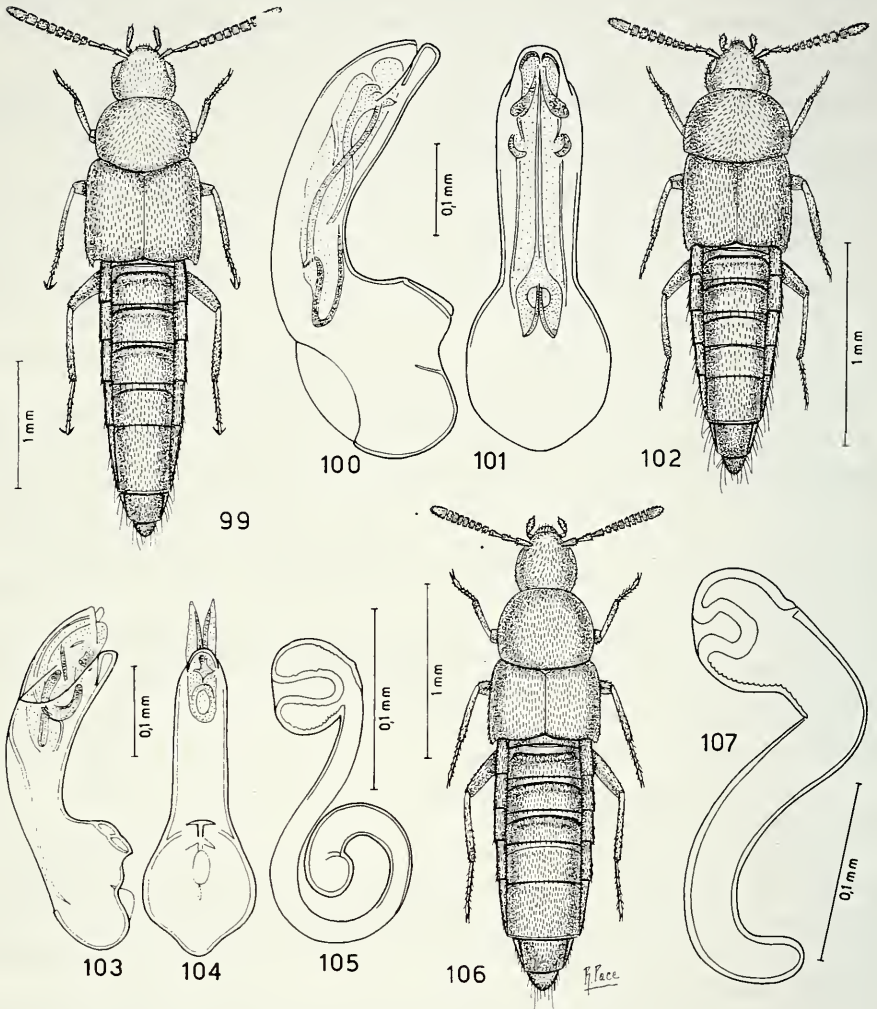
Figg. 99-107

Habitus, edeago in visione laterale e ventrale e spermateca. 99-101: *Oxypoda (Podoxya) subneglecta* sp. n.; 102-105: *Oxypoda (Podoxya) shang* sp. n.; 106-107: *Oxypoda (Demosoma) salamannai* sp. n.
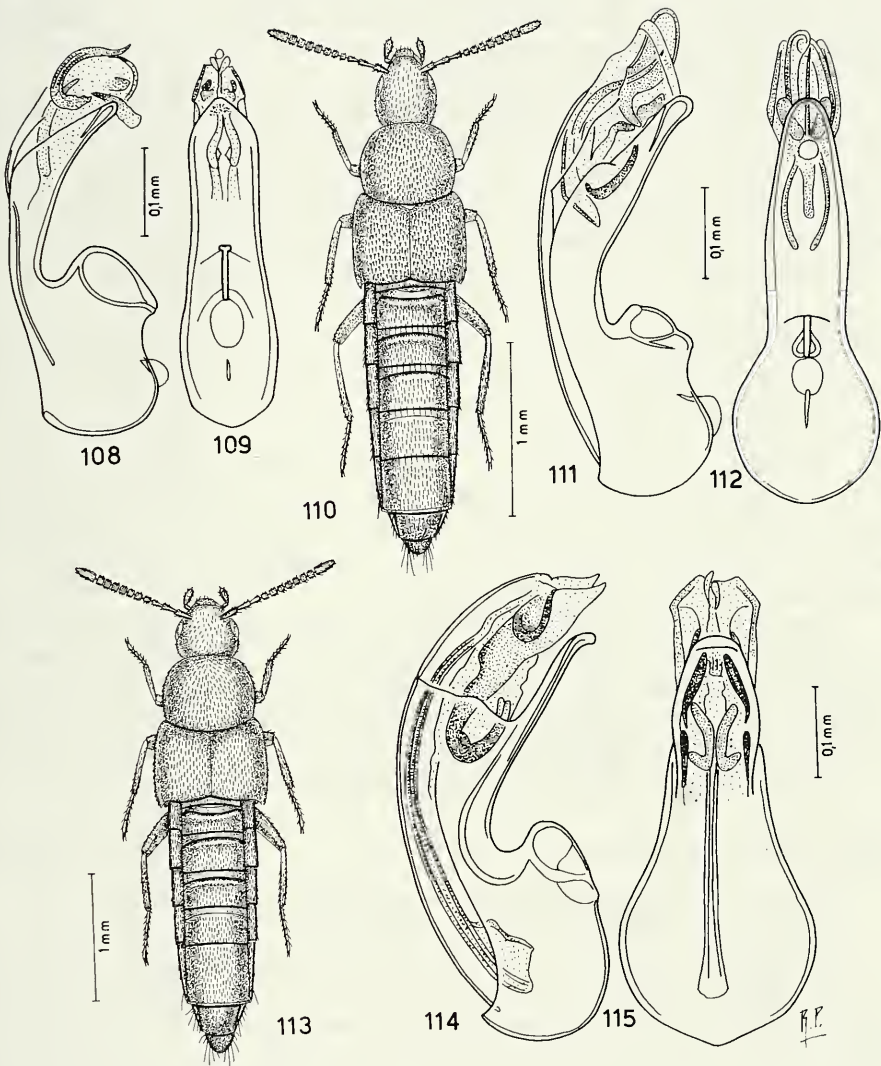
FIGG. 108-115

Edeago in visione laterale e ventrale e habitus. 108-109: *Oxypoda (Demosoma) salamannai* sp. n.; 110-112: *Oxypoda (Demosoma) gansuicola* sp. n.; 113-115: *Oxypoda (Demosoma) gansuensis* sp. n.

DESCRIZIONE. Lunghezza 3,6 mm. Corpo debolmente lucido e bruno pece; antenne brune con i due antennomeri basali bruni; zampe giallo-brune. La reticolazione del capo e delle elitre è estremamente svanita, quella del pronoto è superficiale. La punteggiatura dal capo è distinta. I tubercoletti della superficie del pronoto sono svaniti, quelli delle elitre sono distinti. Edeago figg. 114-115.

COMPARAZIONI. La nuova specie in base alla forma dell'edeago, può essere avvicinata tassonomicamente a *O. smetanaiana* Pace, 1992, del Nepal. L'edeago di entrambe le specie ha una lunga armatura genitale interna, ma quella della nuova specie è molto più lunga e l'edeago stesso è profondamente infossato al livello della "crista apicalis" (non infossato in *smetanaiana*). Inoltre le elitre della nuova specie sono lunghe quanto il pronoto, mentre in *smetanaiana* sono più lunghe del pronoto.

Oxypoda (Demosoma) linearis sp. n. Figg. 116-119

Holotypus ♂, China, Gansu, Yonghai, ca. 20 Km SW Yuzhong, 2700-2800 m, 9.VIII. 1994, A. Smetana leg. (MHNG).
Paratypi: 7 es., stessa provenienza.

DESCRIZIONE. Lunghezza 3,4 mm. Corpo lucido e bruno scuro; antenne brune con i due antennomeri basali bruno-rossicci; zampe rossicce. La reticolazione del capo è molto svanita, quella sul resto del corpo è assente. La punteggiatura del capo è fitta e svanita. I tubercoletti della superficie del pronoto sono distinti, quelli delle elitre sono svaniti. Edeago figg. 117-118, spermateca fig. 119.

COMPARAZIONI. La struttura dell'armatura genitale interna dell'edeago della nuova specie è simile a quella di *O. smetanaiana* Pace, 1992, del Nepal. Ma l'edeago è meno sviluppato, strettamente e poco profondamente arcuato al lato ventrale. Inoltre nella nuova specie gli antennomeri 5° a 10° sono nettamente trasversi e le elitre sono poco più lunghe del pronoto, mentre in *smetanaiana* gli antennomeri 5° a 10° sono poco trasversi e le elitre sono molto più lunghe del pronoto.

Oxypoda (Demosoma) cristae sp. n. Figg. 120-123

Holotypus ♂, China, Beijing, Panshan, 8.V.1993, de Rougemont leg. (MHNG).
Paratypi: 19 es., China, Hebei Prov., Yong Nian, 6.X.1995, Shuqiang Li leg.

DESCRIZIONE. Lunghezza 2,5 mm. Corpo debolmente lucido e bruno-rossiccio con pronoto giallo-rossiccio e con uriti liberi 3° e 4° nero-bruni; antenne brune con antennomero basale giallo e i due successivi rossicci; zampe gialle. La reticolazione del capo è estremamente svanita, quella del pronoto e delle elitre è superficiale. I tubercoletti della superficie del capo sono fini e svaniti, quelli del pronoto e delle elitre sono fini e salienti. Edeago figg. 121-122, spermateca fig. 123.

COMPARAZIONI. La nuova specie ha edeago senza profondo incavo ventrale. Per questo carattere e per la presenza di una lamina crestata dell'armatura genitale interna è specie ben distinta da *O. smetanaiana* Pace, 1992, del Nepal. Inoltre le elitre della nuova specie sono poco più larghe del pronoto e gli antennomeri 4°, 5° e 6° sono trasversi (elitre molto più larghe del pronoto e antennomeri 4°, 5° e 6° lunghi quanto larghi in *smetanaiana*).
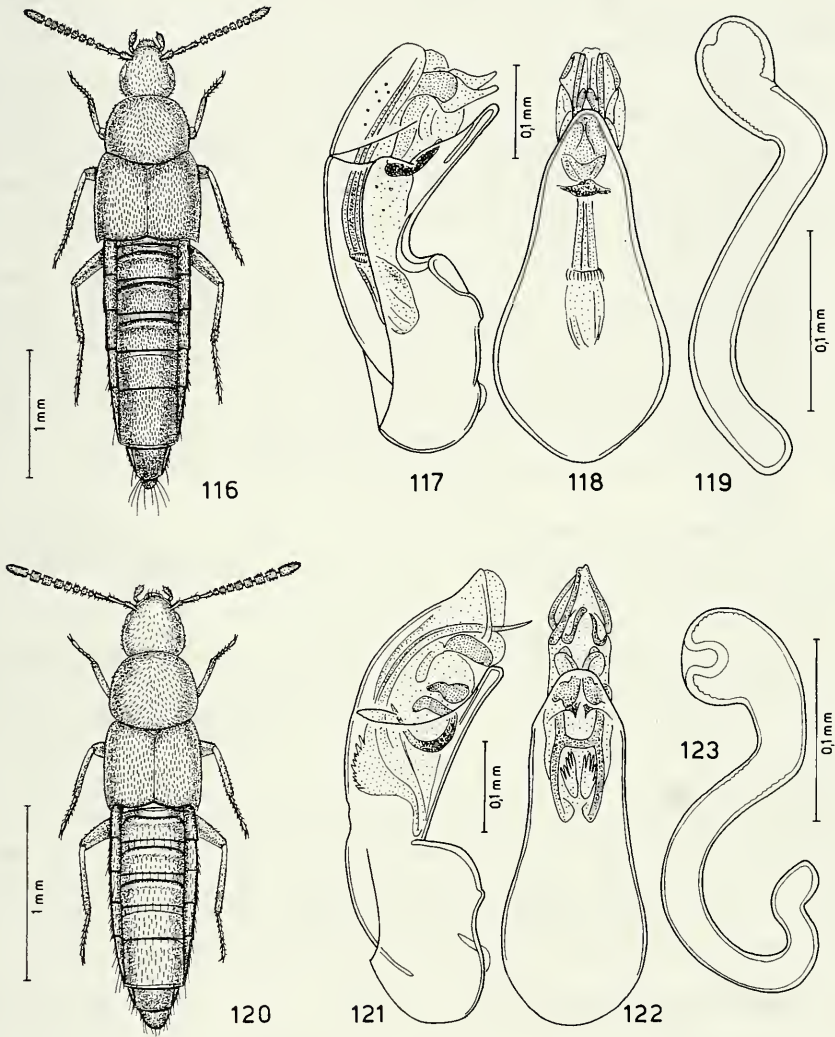
FIGG. 116-123

Habitus, edeago in visione laterale e ventrale e spermateca. 116-119: *Oxypoda (Demosoma) linearis* sp. n.; 120-123: *Oxypoda (Demosoma) cristae* sp. n.

Oxypoda (Demosoma) nudiceps sp. n. Figg. 126-127

Holotypus ♀, China, Sichuan, Gongga Shan, above camp 3, 2800 m, 26.VII.1994, A. Smetana leg. (MHNG).

Paratypus: 1 ♀, stessa provenienza.

Descrizione. Lunghezza 4,0 mm. Corpo lucido e bruno con pronoto giallo-bruno e con margine posteriore degli uroterghi ed estremità addominale rossicci; antenne giallo-brune con i tre antennomeri basali gialli; zampe rossicce. La reticolazione del capo è assente, quella del pronoto e delle elitre è svanita. La punteggiatura del capo è rada e distinta. Tubercoletti salienti stanno sulla superficie del pronoto e delle elitre. Spermateca fig. 127.

Comparazioni. La spermateca della nuova specie ha alcuni elementi di somiglianza con la spermateca di *O. subsericea* Cameron, 1939, dell'India, ma la parte prossimale di quella delle nuova specie è bruscamente interrotta e non prolungata a descrivere una spira quasi completa come in *subsericea*. Inoltre nella nuova specie il capo ha punteggiatura rada ed è più lungo che largo, il pronoto è poco trasverso e le elitre sono molto lunghe, mentre in *subsericea* la punteggiatura del capo è fitta, il capo e il pronoto sono trasversi e le elitre sono poco più lunghe del pronoto.

Oxypoda (Demosoma) bisinuata sp. n. Figg. 128-131

Holotypus ♂, China, Xinlongshan, ca. 70 Km S Lanzhou, 2225-2380 m, 7.VIII.1994, A. Smetana leg. (MHNG).

Paratypi: 8 es., stessa provenienza.

Descrizione. Lunghezza 2,8 mm. Corpo lucido e bruno con pronoto rossiccio; antenne brune con i tre antennomeri basali gialli; zampe gialle. La superficie del corpo è coperta di reticolazione svanita e di tubercoletti fitti e distinti. Edeago figg. 129-130, spermateca fig. 131.

Comparazioni. La nuova specie è ben distinta da *O. subsericea* Cameron, 1939, per i lati dell'edeago sinuati e per la debole armatura genitale interna dell'edeago stesso (robustissima in *subsericea*). Inoltre nella nuova specie gli antennomeri 4° e 5° sono nettamente trasversi, il pronoto è poco più largo che lungo e le elitre sono appena più lunghe del pronoto, mentre in *subsericea* gli antennomeri 4° e 5° sono lunghi quanto larghi, il pronoto è molto trasverso e le elitre sono distintamente più lunghe del pronoto.

Oxypoda (Demosoma) insinuata sp. n. Figg. 132-133

Holotypus ♀, China, Xinlong Shan, ca. 70 Km S Lanzhou, 2225-2380 m, 7.VIII.1994, A. Smetana leg. (MHNG).

Descrizione. Lunghezza 2,7 mm. Corpo lucido e bruno con pronoto giallo-bruno e con il margine posteriore degli uroterghi liberi 2° a 5° bruno-rossicci; antenne brune con i due antennomeri basali bruno-rossicci; zampe gialle. La reticolazione del capo è assente, quella del pronoto e delle elitre è svanita. I tubercoletti della superficie del capo sono appena distinti, quelli del pronoto e delle elitre sono distinti. La pubescenza dell'addome non è molto fitta. Spermateca fig. 133.

Comparazioni. La nuova specie ha antenne corte e la parte prossimale della spermateca descrivente un'ampia spira. Per questi caratteri sembra essere tassono-
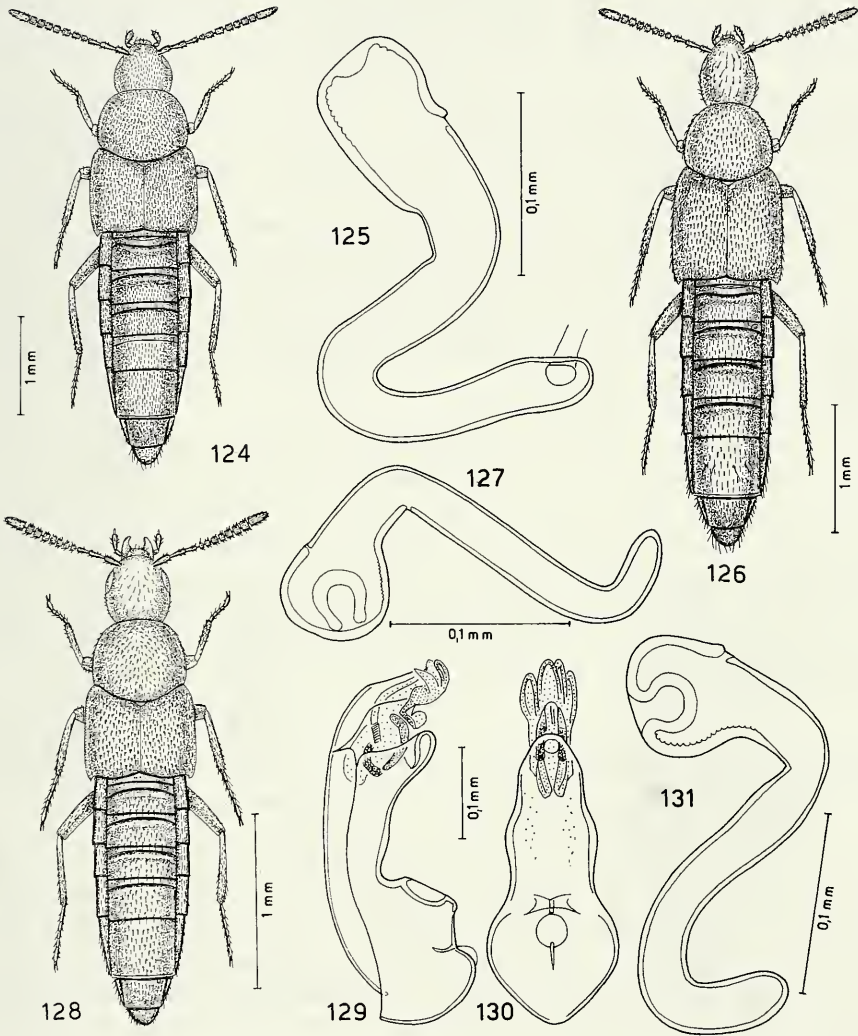
Figg. 124-131

Habitus, spermateca ed edeago in visione laterale e ventrale. 124-125: *Oxypoda (Podoxya) neohsingicola* sp. n.; 126-127: *Oxypoda (Demosoma) nudiceps* sp. n.; 128-131: *Oxypoda (Demosoma) bisinuata* sp. n.

micamente vicina a *O. nigrita* Cameron, 1939, dell'India, ma ha pronoto poco trasverso ed elitre più corte di esso, mentre in *nigrita* il pronoto è nettamente trasverso e le elitre sono molto più lunghe di esso. Inoltre l'introflessione apicale del bulbo distale della spermateca della nuova specie è corta, conica in *nigrita*.

Oxypoda (Demosoma) beijingensis sp. n. Figg. 134-137

Holotypus ♂, China, Beijing, Xiaolongmen, 1100-1500 m, 1.X.1993, de Rougemont leg. (MHNG).

Paratypi: 1 ♂ e 1 ♀, stessa provenienza; 3 ♂♂, China, Shanxi, Wutaishan, 4-5.VI.1993, de Rougemont leg.; 1 ♀, China, Yunnan, Dali, 9.II.1993, de Rougemont leg.

Descrizione. Lunghezza 2,6 mm. Corpo debolmente lucido e nero pece; antenne nere con antennomero basale giallo-rossiccio; zampe rossicce. La reticolazione del capo è assente quella del pronoto e delle elitre è estremamente svanita. I tubercoletti della superficie del capo sono superficiali, quelli del pronoto e delle elitre sono distinti. Edeago figg. 135-136, spermateca fig. 137.

Comparazioni. La nuova specie appartiene al gruppo di specie a cui fa capo *O. rubra* Cameron, 1939, dell'India e del Nepal. Ciò in base alla forma dell'edeago. La nuova specie è distinta da *rubra* e specie affini per l'armatura genitale interna dell'edeago più sviluppata e più robusta, con il pezzo dorsale molto più lungo. L'apice dell'edeago stesso, in visione ventrale, ha una forma caratteristica, come da fig. 136 (apice dell'edeago in visione ventrale arrotondato e bisinuato nelle specie del gruppo di *O. rubra*). Inoltre le elitre della nuova specie sono nettamente più lunghe del pronoto (elitre lunghe quanto il pronoto in *rubra*).

Oxypoda (Demosoma) saanxicola sp. n. Figg. 142-145

Holotypus ♂, China, Shaanxi, Xian, 16.X.1993, de Rougemont leg. (MHNG).
Paratypus: 1 ♀, stessa provenienza.

Descrizione. Lunghezza 2,7 mm. Corpo debolmente lucido e bruno-rossiccio con capo nero pece e con addome nero-bruno avente il margine posteriore degli uroterghi e l'estremità addominale rossicci; antenne bruno-rossicce con i tre antennomeri basali giallo-rossicci; zampe bruno-rossicce. La reticolazione del capo e del pronoto è svanita, quella delle elitre è distinta. La punteggiatura del capo è fitta e superficiale. I tubercoletti della superficie del pronoto e delle elitre sono fini e superficiali. Edeago figg. 143-144, spermateca fig. 145.

Comparazioni. L'edeago della nuova specie mostra delle probabili affinità morfologiche con l'edeago di *O. kashmirica* Cameron, 1939, dell'India. Infatti in visione ventrale l'edeago di entrambe le specie è fortemente ristretto a metà. Poiché l'edeago della nuova specie non ha una carena ventrale, ma solo una debole gibbosità e ha l'armatura genitale interna composta di una robusta spina e di altri robusti pezzi copulatori, la nuova specie è ben distinta da *kashmirica*. Inoltre la nuova specie presenta il pronoto più trasverso ed elitre più accorciate, mentre *O. kashmirica* ha il pronoto poco trasverso ed elitre bene sviluppate.
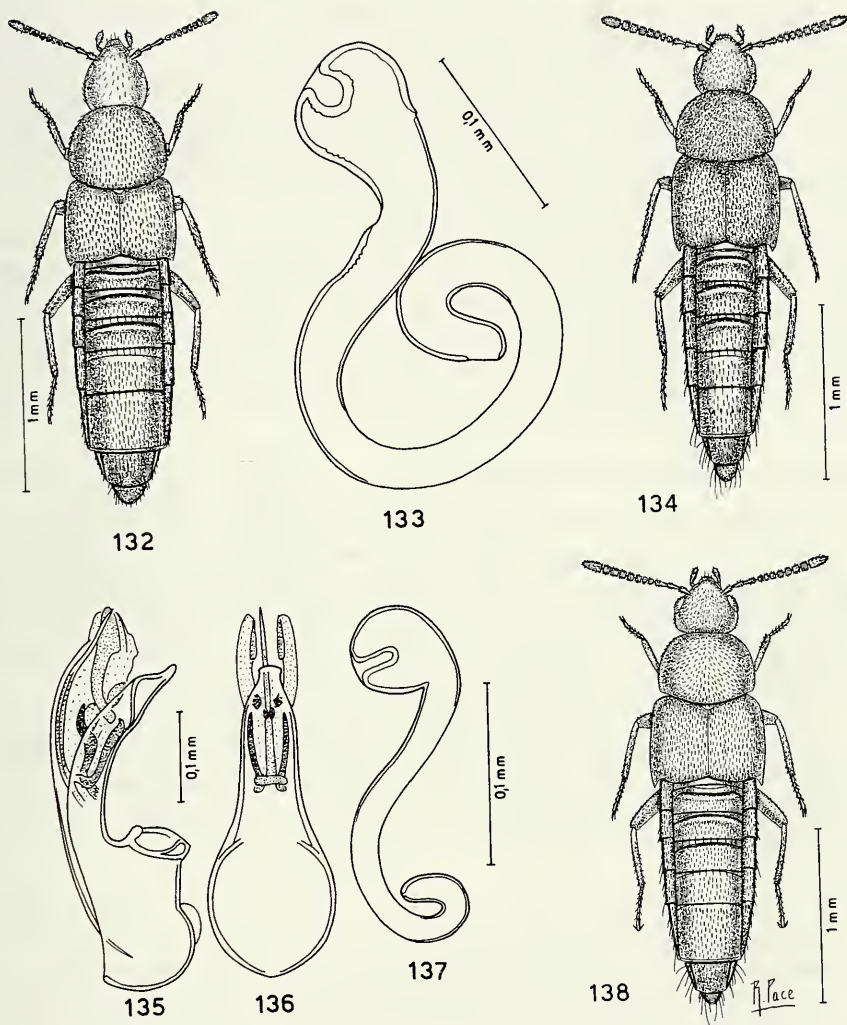
FIGG. 132-138

Habitus, spermateca ed edeago in visione laterale e ventrale. 132-133: *Oxypoda (Demosoma) insinuata* sp. n.; 134-137: *Oxypoda (Demosoma) beijingensis* sp. n.; 138: *Oxypoda (Demosoma) guanxiensis* Pace.

Oxypoda (Demosoma) mutella sp. n. Figg. 146-147

Holotypus ♀, China, Shanxi, Nanwutai, 17.IX.1995, de Rougemont leg. (MHNG).

DESCRIZIONE. Lunghezza 2,8 mm. Corpo poco lucido e bruno-rossiccio con capo nero, elitre brune aventi margine posteriore e una macchia trasversa periscutellare rossicci e con addome rossiccio scuro con i tre uriti basali e l'estremità addominale rossicci; antenne brune con i due antennomeri basali giallo-rossicci; zampe gialle. Il corpo è privo di evidente reticolazione ed è coperto di tubercoletti superficiali sul pronoto e distinti sulle elitre. Spermateca fig. 146.

COMPARAZIONI. La spermateca della nuova specie è simile a quella di *O. subsericea* Cameron, 1939, dell'India, ma l'introflessione apicale del bulbo distale della spermateca della nuova specie è poco profonda e poco larga (molto profonda e molto larga in *subsericea*). Inoltre il pronoto della nuova specie è meno trasverso di quello di *subsericea* e le elitre della nuova specie sono brune con una fascia in diagonale rossiccia, mentre le elitre di *subsericea* sono bruno-rossicce appena oscurate alla base.

Oxypoda (Demosoma) kunmingicola sp. n. Figg. 148-149

Holotypus ♀, China, Yunnan, Kunming, 1.II.1993, de Rougemont leg. (MHNG).

DESCRIZIONE. Lunghezza 2,2 mm. Corpo debolmente lucido e nero-bruno con margine laterale e posteriore del pronoto bruno-rossicci e con margine posteriore degli uroterghi e l'estremità addominale rossicci; antenne brune con i due antennomeri basali gialli macchiati di bruno; zampe giallo-rossicce. La superficie corporea è coperta di tubercoletti distinti posti su un fondo non reticolato. Spermateca fig. 149.

COMPARAZIONI. La spermateca della nuova specie ha forma simile a quella di *O. coiffaiti* Pace, 1984b, del Nepal, ma la sua parte prossimale non è sensibilmente molto stretta come quella di *coiffaiti*. Inoltre il pronoto della nuova specie è molto trasverso (poco trasverso in *coiffaiti*) e le elitre sono molto più lunghe del pronoto (lunghe quanto il pronoto in *coiffaiti*).

Oxypoda (Demosoma) falcifera sp. n. Figg. 150-152

Holotypus ♂, China, Zhejiang, Hangzhou, 27.IV.1993, de Rougemont leg. (MHNG).

DESCRIZIONE. Lunghezza 2,8 mm. Corpo lucido. Capo bruno scuro, pronoto bruno, elitre giallo-brune con metà posteriore bruna, tranne il margine laterale esterno e quello posteriore, addome bruno con lati e margine posteriore dei tre uriti basali rossicci; antenne brune con l'antennomero basale giallo-rossiccio; zampe gialle. La superficie del corpo è coperta di tubercoletti fitti e superficiali su un fondo non reticolato. Edeago figg. 151-152.

COMPARAZIONI. Una specie che presenta una robusta e lunga armatura genitale interna dell'edeago come quella della nuova specie è *O. subsericea* Cameron, 1939, dell'India. Ma quella di quest'ultima specie è molto più larga e più corta di quella della nuova specie. Inoltre l'edeago di *subsericea* non è infossato al livello della "crista apicalis" quanto quello della nuova specie.
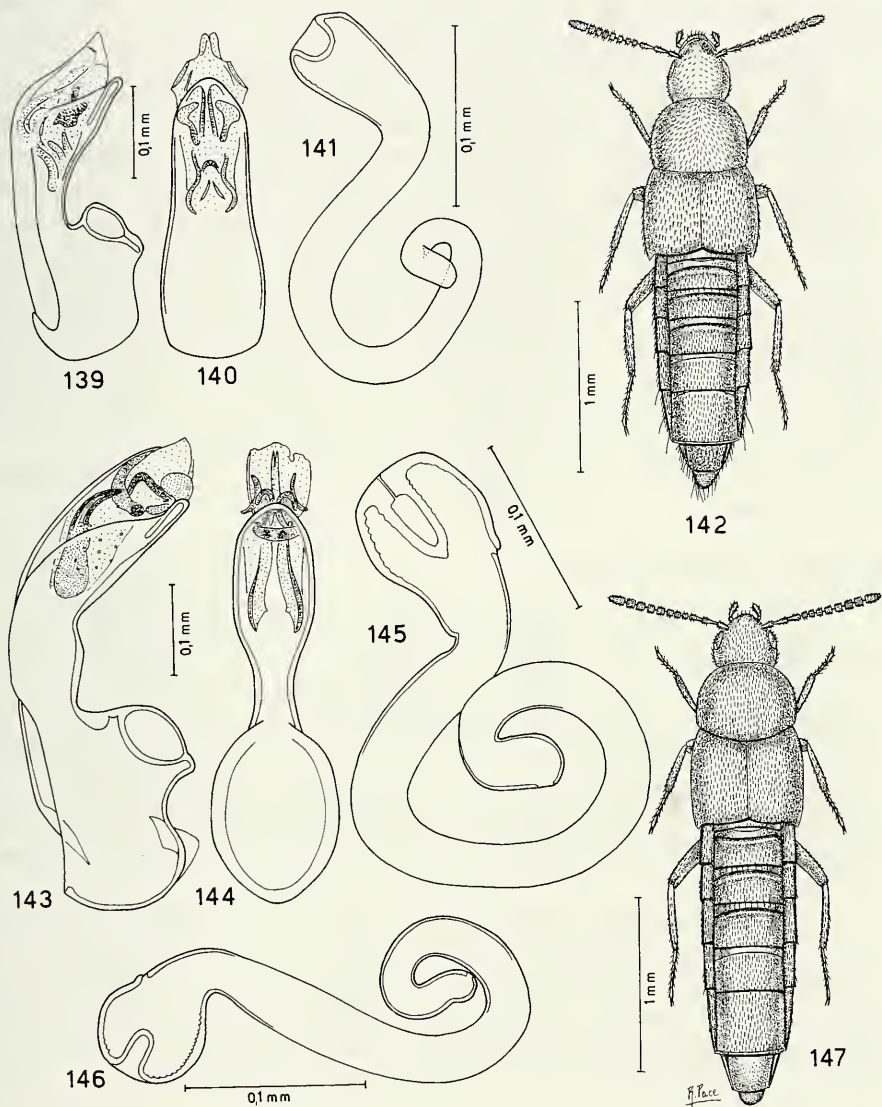
FIGG. 139-147

139-141: *Oxypoda (Demosoma) guanxiensis* Pace; 142-145: *Oxypoda (Demosoma) saanxicola* sp. n.; 146-147: *Oxypoda (Demosoma) mutella* sp. n.

Oxypoda (Demosoma) jiensis sp. n. Figg. 153-156

Holotypus ♂, China, Beijing, Xiaolongmen, 1100-1500 m, 1.VII.1993, de Rougemont leg. (MHNG).

Paratypus: 1 ♀, China, Zhejiang, Tianmushan, 29.IV.1993, de Rougemont leg.

Descrizione. Lunghezza 2,3 mm. Corpo lucido e bruno con pronoto, margine posteriore degli uroterghi ed estremità addominale giallo-rossicci e con elitre giallo-brune; antenne bruno-rossicce con i due antennomeri basali giallo-rossicci; zampe rossicce. Il capo è privo di reticolazione e ha tubercoletti molto superficiali. I tubercoletti della superficie del pronoto e delle elitre sono distinti, posti su un fondo a reticolazione estremamente svanita. Edeago figg. 154-155, spermateca fig. 156.

Comparazioni. La nuova specie, in base alla forma dell'edeago e della spermateca, sembra affine a *O. kashmirica* Cameron, 1939, dell'India. Infatti l'edeago della nuova specie ha una bozza ventrale che in *kashmirica* diventa una saliente carena e la spermateca della nuova specie ha introflessione apicale del bulbo distale profonda, mentre in *kashmirica* è poco sviluppata. Le elitre della nuova specie sono lunghe quanto il pronoto, mentre quelle di *kashmirica* sono nettamente più lunghe.

Etimologia. La nuova specie prende nome da Ji, antico nome di Pekino nell'ottavo secolo a.C.

Oxypoda (Demosoma) festiva sp. n. Figg. 157-160

Holotypus ♂, China, Beijing, Panshan, 8.V.1993, de Rougemont leg. (MHNG).

Paratypus: 1 ♀, stessa provenienza; 1 ♀, China, Shaanxi, Nanwutai, 17.IX.1995, de Rougemont leg.

Descrizione. Lunghezza 3,7 mm. Corpo debolmente lucido. Capo bruno, pronoto giallo-rossiccio, elitre giallo-brune con lati esterni e area periscutellare bruni, addome bruno con margine posteriore dei tre uroterghi basali rossicci; antenne e zampe giallo-rossicce. La reticolazione del capo è molto svanita, quella del pronoto è superficiale e quella delle elitre è distinta. I tubercoletti della superficie del capo e delle elitre sono poco salienti, quelli del pronoto sono indistinti. Edeago figg. 158-159, spermateca fig. 160.

Comparazioni. La nuova specie sembra affine a *O. sui* Pace, 1993, pure della Cina. Se ne distingue per l'edeago meno profondamente arcuato al lato ventrale, con incavatura posta al livello della "crista apicalis" stretta e poco profonda (larga e profonda in *sui*). La spermateca ha minore sviluppo di quello di *sui* e ha introflessione apicale del bulbo distale molto più pronunciata. Inoltre le elitre della nuova specie sono più lunghe del pronoto, mentre quelle di *sui* sono lunghe quanto il pronoto.

Oxypoda (Demosoma) cooteri sp. n. Figg. 161-162

Holotypus ♀, China, Jiangsu Prov., Nanjin, Zijinshan, 8.V.1996, J. Cooter leg. (MHNG).

Descrizione. Lunghezza 3,9 mm. Corpo debolmente lucido. Capo bruno, pronoto giallo-rossiccio, elitre rossicce con area periscutellare bruna, addome bruno con margine posteriore degli uroterghi ed apice addominale rossicci; antenne brune con i due antennomeri basali giallo-rossicci; zampe gialle. I tubercoletti della superficie del corpo sono fitti e poco salienti, posti su un fondo non reticolato. Spermateca fig. 162.
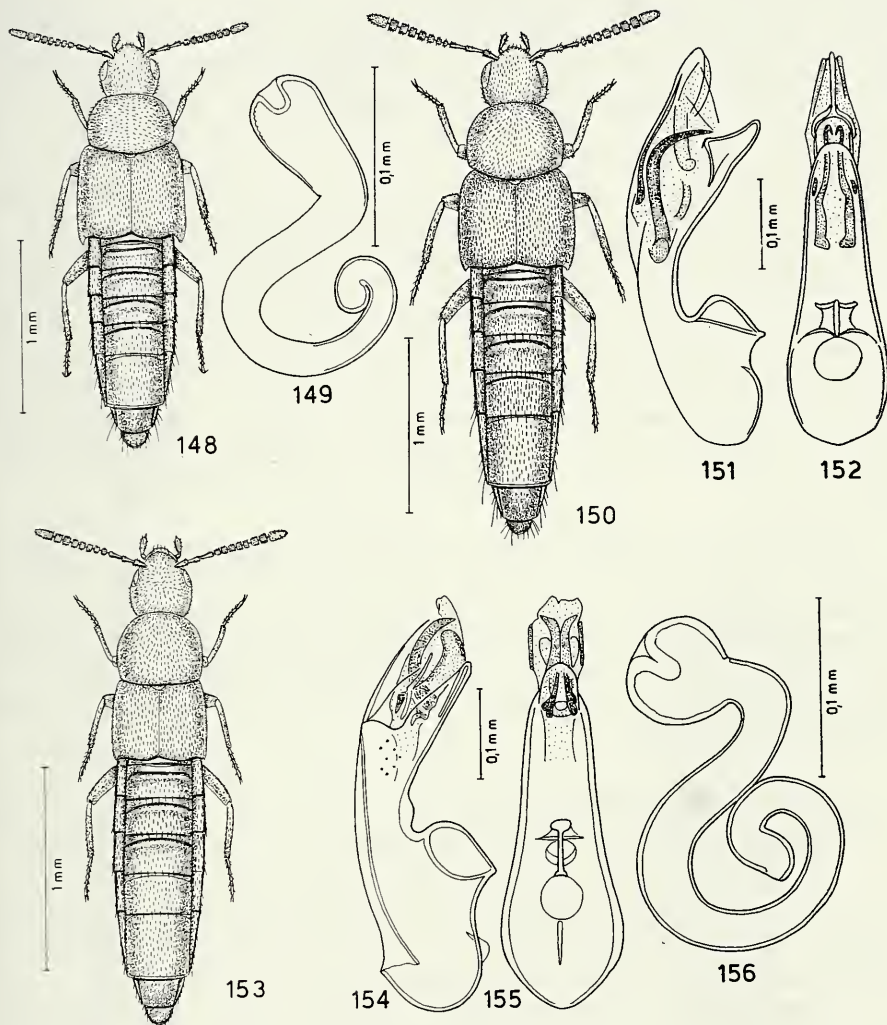
FIGG. 148-156

Habitus, spermateca ed edeago in visione laterale e ventrale. 148-149: *Oxypoda (Demosoma) kunmingicola* sp. n.; 150-152: *Oxypoda (Demosoma) falcifera* sp. n.; 153-156: *Oxypoda (Demosoma) jiensis* sp. n.

COMPARAZIONI. La nuova specie è affine a *O. festiva* sp. n. sopra descritta. Esternamente se ne distingue per le antenne brune con i due antennomeri basali giallo-rossicci (antenne giallo-rossicce in *festiva*) e per il pronoto più trasverso (rapporto larghezza/lunghezza pari a 1,26) di quello di *festiva* (rapporto pari a 1,22). La spermateca ha maggiore sviluppo, con introflessione apicale del bulbo distale meno profonda.

Oxypoda (Demosoma) pekinensis sp. n. Figg. 163-165 e 226

Holotypus ♂, China, Beijing, Panshan, 8.V.1993, de Rougemont leg. (MHNG).

Paratypi: 1 ♀, China, Beijing, Xiaolongmen, 1100-1500 m, 1.X.1993, de Rougemont leg.; 1 ♂ e 2 ♀♀, China, Hebei Chengde, 3.X.1994, de Rougemont leg.

DESCRIZIONE. Lunghezza 4,0 mm. Corpo lucido e bruno con capo e addome nero-bruni con margine posteriore dei due uroterghi basali giallo-bruni, il terzo e l'estremità addominale bruno-rossicci; antenne bruno-rossicce con i due antennomeri basali giallo-rossicci; zampe gialle. La reticolazione del capo è assente, quella del pronoto è estremamente svanita e quella delle elitre è superficiale. I tubercoletti che coprono la superficie del corpo sono fittissimi e svaniti. Edeago figg. 164-165, spermateca fig. 226.

COMPARAZIONI. La nuova specie è affine alle due precedenti specie descritte: *O. festiva* sp. n. e *O. cooteri* sp. n., come a *O. sui* Pace, 1993, pure della Cina. Si distingue da quest'ultima per l'edeago meno profondamente arcuato al lato ventrale per l'armatura genitale interna più robusta, per la parte prossimale della spermateca molto più prolungata, fino a descrivere oltre una spira (spira incompleta in *sui*) e per il pronoto più esteso, largo quasi quanto le elitre (pronoto nettamente più stretto delle elitre nelle tre specie citate).

Oxypoda (Demosoma) seminudiventris sp. n. Figg. 166-167

Holotypus ♀, China, Jiangsu Prov., Nanjing, Zijinshan, 8.V.1996, J. Cooter leg. (MHNG).

DESCRIZIONE. Lunghezza 3,2 mm. Corpo lucido e giallo-rossiccio con capo e uriti liberi 3°, 4° e base del 5° bruni: antenne e zampe giallo-rossicce. I tubercoletti della superficie dell'avancorpo sono distinti, posti su un fondo non reticolato, quelli dell'addome sono poco fitti e salienti. Spermateca fig. 167.

COMPARAZIONI. In base alla forma della spermateca, la nuova specie può essere tassonomicamente vicina a *O. nagaidana* Pace, 1992, del Nepal. Se ne distingue per avere il bulbo distale non asimmetrico e la parte mediana dello stesso organo priva di finissima microscultura reticolare interna (presente al contrario in *nagaidana*). Inoltre gli occhi sono meno ridotti nella nuova specie e il pronoto è nettamente più stretto delle elitre (pronoto appena più stretto delle elitre in *nagaidana*).

Oxypoda (Demosoma) maculiventris sp. n. Figg. 168-169

Holotypus ♀, China, Yunnan, Xishuangbanna, Mengdien, 26.I.1993, de Rougemont leg. (MHNG).

Paratypus: 1 ♀, stessa provenienza.
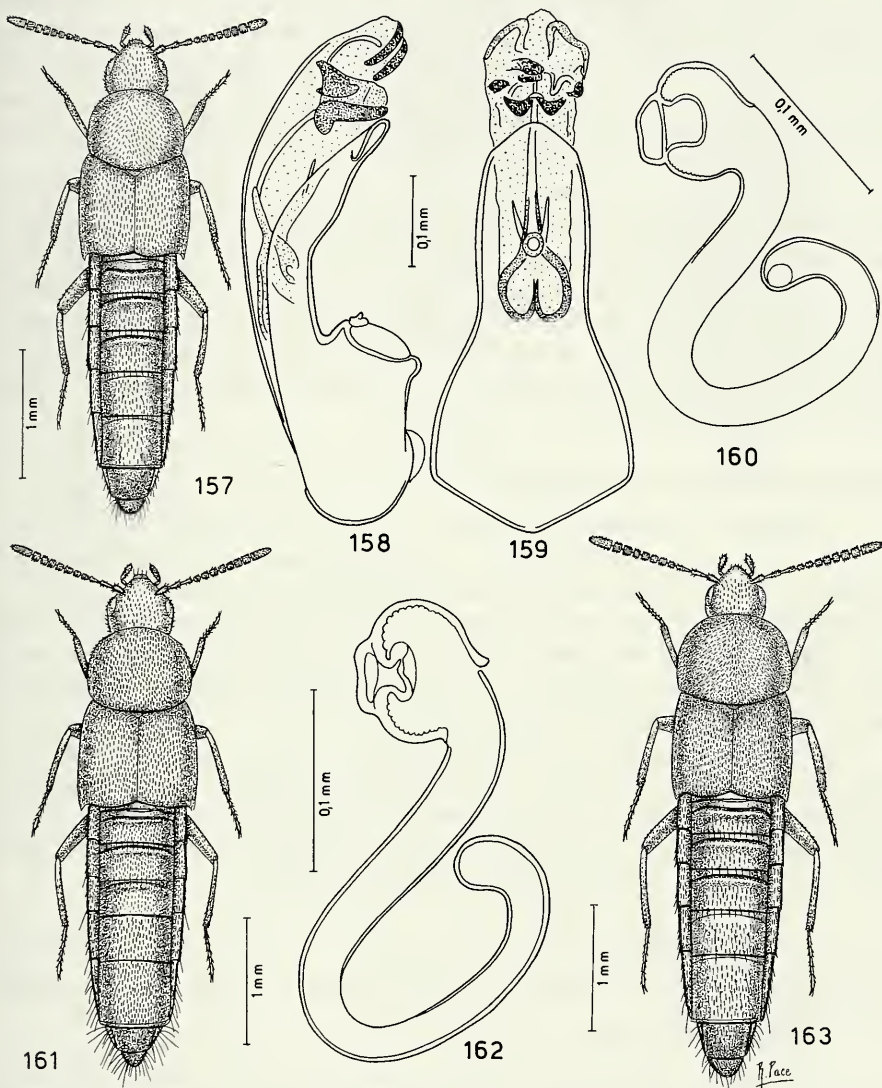
FIGG. 157-163

Habitus, edeago in visione laterale e ventrale e spermateca. 157-160: *Oxypoda (Demosoma) festiva* sp. n.; 161-162: *Oxypoda (Demosoma) cooteri* sp. n.; 163: *Oxypoda (Demosoma) pekinensis* sp. n.

DESCRIZIONE. Lunghezza 2,7 mm. Corpo debolmente lucido. Capo bruno, pronoto ed elitre giallo-bruni, addome giallo-rossiccio con il terzo urite libero giallo-bruno e il quarto e la metà basale del quinto e una macchia mediana basale sui due uriti basali, bruni; antenne brune con i due antennomeri basali giallo-rossicci; zampe giallo-rossicce. La reticolazione del capo e del pronoto è svanita, quella delle elitre è distinta. La punteggiatura del capo è distinta. I tubercoletti che coprono la superficie del pronoto e delle elitre sono fitti e salienti. Spermateca fig. 168.

COMPARAZIONI. La nuova specie appare simile a *O. shuteae* Pace, 1984a, dell'India, se si confrontano le spermateche. La nuova specie ha la parte prossimale di quest'organo meno prolungata e con scultura reticolare interna (assente in *shuteae*). Inoltre l'undicesimo antennomero della nuova specie è visibilmente più lungo di quello di *shuteae*, gli occhi sono più lunghi delle tempie (occhi molto più corti delle tempie in *shuteae*), il pronoto è più trasverso e più stretto delle elitre (pronoto poco più stretto delle elitre in *shuteae*) e per la presenza di una macchia mediana basale sui due uriti basali (macchia assente in *shuteae*).

Oxypoda (Demosoma) pulchricolor sp. n. Figg. 170-171

Holotypus ♀, China, Zhejiang, Tianmushan, 29.IV.1993, de Rougemont leg. (MHNG).

DESCRIZIONE. Lunghezza 2,0 mm. Corpo lucido. Capo nero pece, pronoto giallo-rossiccio, elitre giallo-brune con base bruna, addome giallo-rossiccio con uriti liberi 3°, 4° e base del 5° nero-bruni; antenne brune con i due antennomeri basali gialli; zampe gialle. La reticolazione del capo è assente, quella del pronoto e delle elitre molto svanita. I tubercoletti della superficie del capo e delle elitre sono molto superficiali, quelli del pronoto sono distinti. Spermateca fig. 170.

COMPARAZIONI. La nuova specie è distinta da *O. proxima* Cameron, 1939, dell'India, per il bulbo distale della spermateca meno asimmetrico, con itnroflessione apicale a punta acuta e non a punta largamente arrotondata come in *proxima*. Inoltre la parte prossimale della stessa spermateca è meno sviluppata e l'addome della nuova specie è meno ristretto all'indietro rispetto quello di *proxima*.

Oxypoda (Bessopora) gonggaensis sp. n. Figg. 172-174

Holotypus ♂, China, Sichuan, Gongga Shan, above camp 2, 2850 m, 26.VII.1994, A. Smetana leg. (MHNG).

Paratypi: 1 ♂ e 1 ♀, stessa provenienza.

DESCRIZIONE. Lunghezza 2,7 mm. Corpo lucido e bruno con margini del pronoto ed estremità addominale rossicci; antenne brune con i tre antennomeri basali e l'undicesimo giallo-rossicci. La reticolazione del capo e del pronoto è molto svanita, quella delle elitre è distinta. I tubercoletti della superficie del capo e del pronoto sono salienti, quelli delle elitre sono svaniti. Edeago figg. 173-174.

COMPARAZIONI. In base alla forma dell'edeago, la nuova specie è affine a *O. elata* Pace, 1992, del Nepal. Infatti entrambe le specie presentano una bozza nel fondo dell'incavatura ventrale dell'edeago. Ma quella di *elata* è più saliente e più stretta, mentre quella della nuova specie è larghissima e poco saliente. Inoltre l'apice
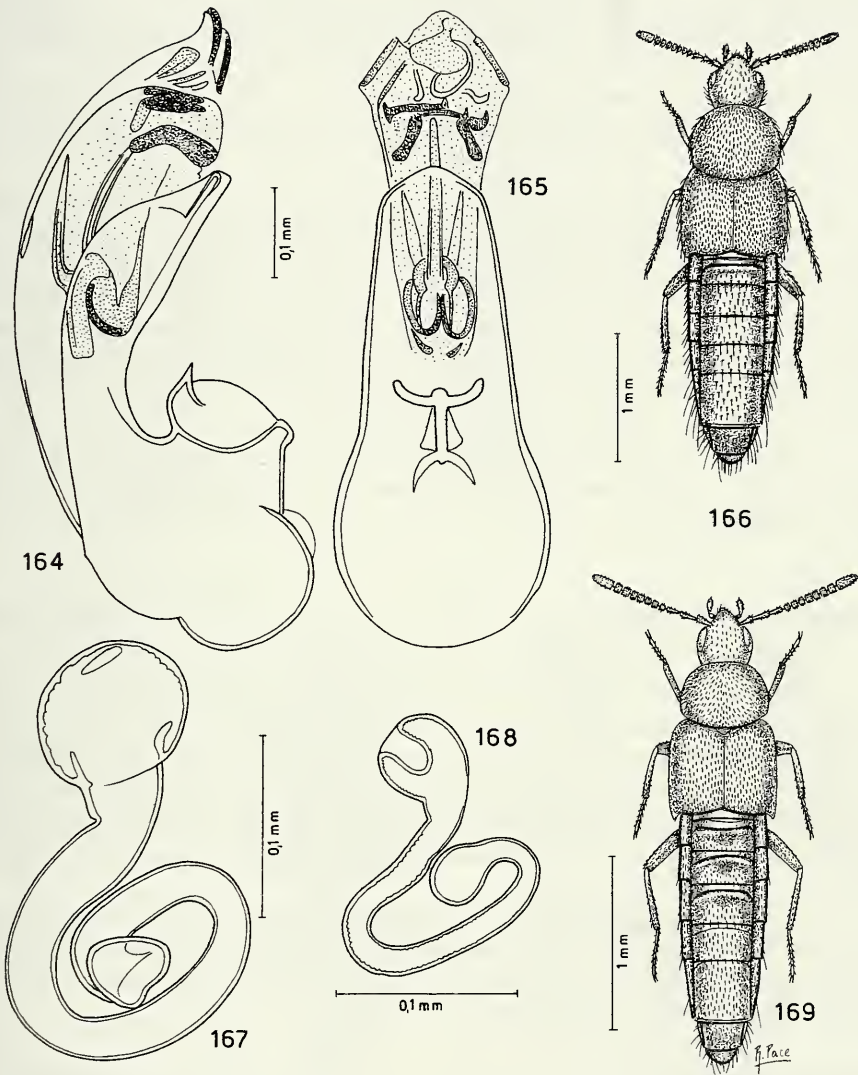
FIGG. 164-169

Edeago in visione laterale e ventrale, habitus e spermateca. 164-165: *Oxypoda (Demosoma) pekinensis* sp. n.; 166-167: *Oxypoda (Demosoma) seminudiventris* sp. n.; 168-169: *Oxypoda (Demosoma) maculiventris* sp. n.

dell'edeago, in visione ventrale, è assai largo nella nuova specie e stretto in *elata* e le elitre della nuova specie sono nettamente più corte del pronoto che è poco trasverso, mentre in *elata* le elitre sono molto più lunghe del pronoto che è fortemente trasverso.

Oxypoda (Bessopora) uncinata sp. n. Figg. 175-177

Holotypus ♂, China, Beijing, Xiaolongmen, 1100-1500 m, 1.VII.1993, de Rougemont leg. (MHNG).

DESCRIZIONE. Lunghezza 2,6 mm. Corpo lucido e bruno con pronoto bruno-rossiccio e con margine posteriore dei tre uriti basali e del quinto libero rossicci; antenne brune con i due antennomeri basali giallo-rossicci; zampe gialle. La reticolazione del capo e del pronoto è estremamente svanita, quella delle elitre è distinta. I tubercoletti della superficie del capo sono poco fitti e sono superficiali, quelli del pronoto sono estremamente svaniti e quelli delle elitre sono poco salienti. I quattro uroterghi basali mostrano una reticolazione poligonale irregolare distinta, il quinto libero ha reticolazione trasversa evidente. Edeago figg. 176-177.

COMPARAZIONI. L'edeago della nuova specie ha qualche affinità morfologica con quello di *O. franziana* Pace, 1984a, del Nepal. Se ne distingue per il caratteristico robusto dente preapicale ventrale dell'edeago (due dentini preapicali ventrali in *franziana*).

Ischyrocolpura chinensis sp. n. Figg. 178-179

Holotypus ♀, China, Jiangsu Prov., Nanjing, Zijinshan, 8.V.1996, J. Cooter leg. (MHNG).

DESCRIZIONE. Lunghezza 3,6 mm. Corpo lucido e giallo-rossiccio; antenne rossicce con i due antennomeri basali e l'undicesimo giallo-rossicci; zampe giallo-rossicce. non è presente una reticolazione sulla superficie del corpo. La punteggiatura del capo è svanita, quella del pronoto è molto superficiale e quella delle elitre è distinta. Solo i due uroterghi basali presentano punteggiatura distinta, i restanti uroterghi sono appiattiti e quasi privi di punteggiatura (solo qualche punto isolato). Spermateca fig. 179.

COMPARAZIONI. La nuova specie esternamente è molto simile a *I. philippinensis* Pace, 1990, delle Filippine. Se ne distingue con evidenza per la forma della spermateca che nella parte prossimale è nettamente più lunga, tanto che descrive un arco, non presente nella spermateca di *philippina*.

Homoeusa chinensis sp. n. Figg. 180-181

Holotypus ♀, China, Beijing, Xiaolongmen, 1100-1500 m, 1.VII.1993, de Rougemont leg. (MHNG).

Paratypus: 1 ♀, stessa provenienza.

DESCRIZIONE. Lunghezza 3,5 mm. Corpo lucido e bruno; antenne bruno-rossicce con i due antennomeri basali e l'undicesimo rossicci; zampe rossicce. La reticolazione del capo è estremamente svanita, quella del pronoto superficiale e quella delle elitre è distinta. La superficie dell'avancorpo è coperta di tubercoletti finissimi e poco salienti. La reticolazione dei due uroterghi basali è svanita, quella del terzo è estremamente
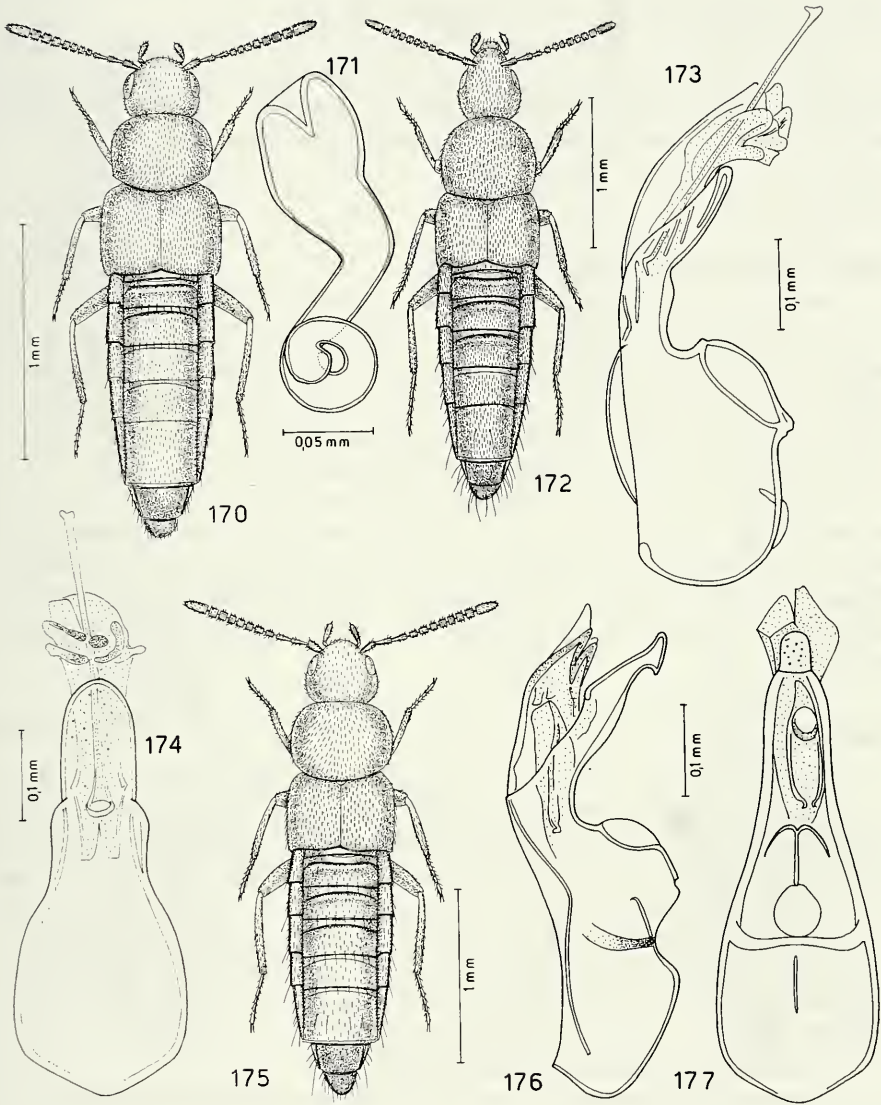
FIGG. 170-177

Habitus, spermateca ed edeago in visione laterale e ventrale. 170-171: *Oxypoda (Demosoma) pulchricolor* sp. n.; 172-174: *Oxypoda (Bessopora) gonggaensis* sp. n.; 175-177: *Oxypoda (Bessopora) uncinata* sp. n.

superficiale e quella sui restanti uroterghi è assente. Il quinto urotergo libero è coperto di tubercoletti allungati molto salienti. Spermateca fig. 181.

COMPARAZIONI. La nuova specie è distinta da *H. acuminata* (Maerkel, 1842), della regione paleartica occidentale, per il pronoto meno trasverso e il diverso colore del corpo. Da *H. prolongata* Sawada, 1970, del Giappone, è distinta per la parte prossimale della spermateca non prolungata a formare un occhiello.

HOPLANDRIINI

Tinotus rougemontianus sp. n. Figg. 182-183

Holotypus ♀, China, Yunnan, Ruili, ca. 700 m, de Rougemont leg. (MHNG).

DESCRIZIONE. Lunghezza 2,8 mm. Corpo lucidissimo. Capo nero, pronoto nero bruno, elitre perdute, addome bruno con margine posteriore dei tre uroterghi basali bruno-rossiccio; antenne nero-brune; zampe bruno-rossicce. La reticolazione del capo è assente, quella del pronoto è svanita come quella degli uroterghi liberi 4° e 5°. I tubercoletti della superficie del corpo sono svaniti. Spermateca fig. 183.

COMPARAZIONI. La nuova specie è distinta da *T. kashmiricus* Cameron, 1939, dell'India, per il differente colore dell'addome che nella nuova specie è bruno con il margine posteriore dei tre uroterghi basali bruno-rossiccio, mentre in *kashmiricus* l'addome è interamente nero. E' pure differente la punteggiatura sui due ultimi uroterghi: più rada che sui tre basali in *kashmiricus*, con punteggiatura non più rada nella nuova specie.

Alloplandria gen. n. Figg. 184-191

DIAGNOSI. Il nuovo genere si colloca in posizione intermedia tra i generi *Hoplandria* Kraatz, 1857, a diffusione neotropicale e *Pseudoplandria* Fenyes, 1921, a diffusione orientale. Del primo possiede la formula tarsale 4-5-5 (controllo effettuato su più esemplari: non è un caso teratologico), del secondo ha il tipo di edeago, A sé stanti sono la forma della spermateca e la carena mesosternale.

DESCRIZIONE. Palpi labiali di 4 articoli (fig. 190); ligula molto lunga, divisa all'estremità, con una setola a ciascun lato; palpi mascellari di 5 articoli (fig. 191); tempie marginate; processo mesosternale acuto e carenato; mesocoxe contigue; formula tarsale 4-5-5.

TYPUS GENERIS: *Alloplandria problematica* sp. n.

ETIMOLOGIA. Il nome del nuovo genere significa "Hoplandria differente". Il genere grammaticale è femminile.

Alloplandria problematica sp. n. Figg. 184-191

Holotypus ♂, Hong Kong, Kadoorie Agricultural Research Centre, flight interception trap, 19-31.V.1996, de Rougemont leg. (MHNG).

Paratypi: 18 es., stessa provenienza, ma anche in data VI.1996; 8 es., Hong Kong, Tai Po, vegetable refuse, VII.1996, de Rougemont leg.; 3 ♂♂, Hong Kong, N.T., IX.1996, sifted litter, de Rougemont leg.
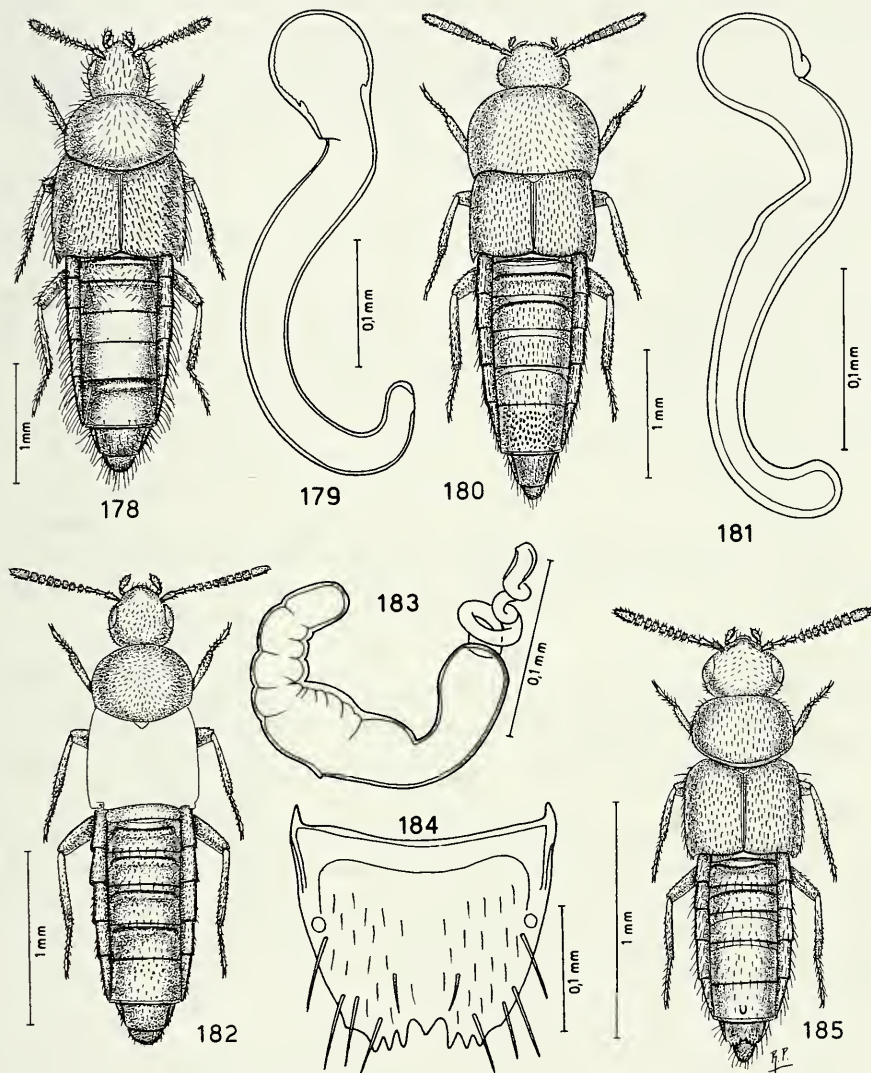
FIGG. 178-185

Habitus, spermateca e sesto urotergo libero del maschio. 178-179: *Ischyrocolpura chinensis* sp. n.; 180-181: *Homoeusa chinensis* sp. n.; 182-183: *Tinotus rougemontianus* sp. n.; 184-185: *Alloplandria problematica* gen. n., sp. n.

Descrizione. Lunghezza 1,8 mm. Corpo lucido e rossiccio con capo bruno-rossiccio, elitre brune aventi base giallo-rossiccia; antenne brune con i tre antennomeri basali rossicci; zampe giallo-rossicce. Sul corpo non vi è traccia di reticolazione e i tubercoletti sono fini e svaniti sul pronoto e distinti sulle elitre. La punteggiatura del capo è svanita e rada. Sesto urotergo libero del maschio fig. 184, edeago figg. 186-187, spermateca fig. 188.

Pseudoplandria fellowesi sp. n. Figg. 192-196

Holotypus ♂, Hong Kong, Tai Po Kau, pit-fall trap, VIII.1992, J. Fellowes leg. (MHNG). Paratypi: 7 es., stessa provenienza.

Descrizione. Lunghezza 1,9 mm. Corpo lucido e giallo con capo giallo-rossiccio, con elitre giallo-brune e con la base degli uriti liberi 4° e 5° giallo-rossicci; antenne giallo-rossicce con i due antennomeri basali gialli; zampe gialle. Non vi è presenza di reticolazione sul corpo. La punteggiatura del capo è poco distinta. I tubercoletti che coprono il resto della superficie del corpo sono superficiali. Edeago figg. 193-194, spermateca fig. 195, sesto urotergo libero del maschio fig. 196.

Comparazioni. La nuova specie, in base all'habitus e alla forma della spermateca è comparabile con *P. piceorufa* Cameron, 1941, delle Filippine. Se ne distingue per la spermateca di dimensione assai ridotta rispetto la spermateca di *piceorufa* e per la parte prossimale della stessa spermateca della nuova specie, corta, mentre è molto lunga in *piceorufa*.

Pseudoplandria anjiensis sp. n. Figg. 197-198

Holotypus ♀, China, Zhejiang Prov., Anji County, ca. 500 m, Long Wang Shan N.R., 12.V.1996, J. Cooter leg. (MHNG).

Paratypi: 2 ♀♀, Zjhejiang Prov, Lin'an County, W Tianmu Shan N.R., 16.22.V.1996, J. Cooter leg.

Descrizione. Lunghezza 3,6 mm. Corpo lucido e giallo-rossiccio con capo ed elitre bruni; antenne rossicce con i due antennomeri basali e l'undicesimo giallo-rossicci; zampe giallo-rossicce. La reticolazione del capo e del pronoto è molto svanita, quella delle elitre e dell'addome è assente. La punteggiatura del capo e del pronoto è superficiale. Le elitre sono coperte dei tubercoletti distinti come quelli della superficie degli uroterghi.

Comparazioni. La spermateca della nuova specie ha forma simile a quella di *P. championi* Cameron, 1939, dell'India, ma è di maggiore grandezza perché la parte mediana è più prolungata e l'introflessione apicale del bulbo distale della stessa spermateca è più profonda e meno larga di quella di *championi*.

Pseudoplandria rougemonti sp. n. Figg. 199-201

Holotypus ♂, Hong Kong N.T., IV.1996, de Rougemont leg. (MHNG).

Descrizione. Lunghezza 3,2 mm. Corpo lucido e rossiccio con elitre brune aventi omeri rossicci; antenne brune con i tre antennomeri basali e l'undicesimo giallo-rossicci; zampe giallo-rossicce. La reticolazione del corpo è assente. La punteggiatura
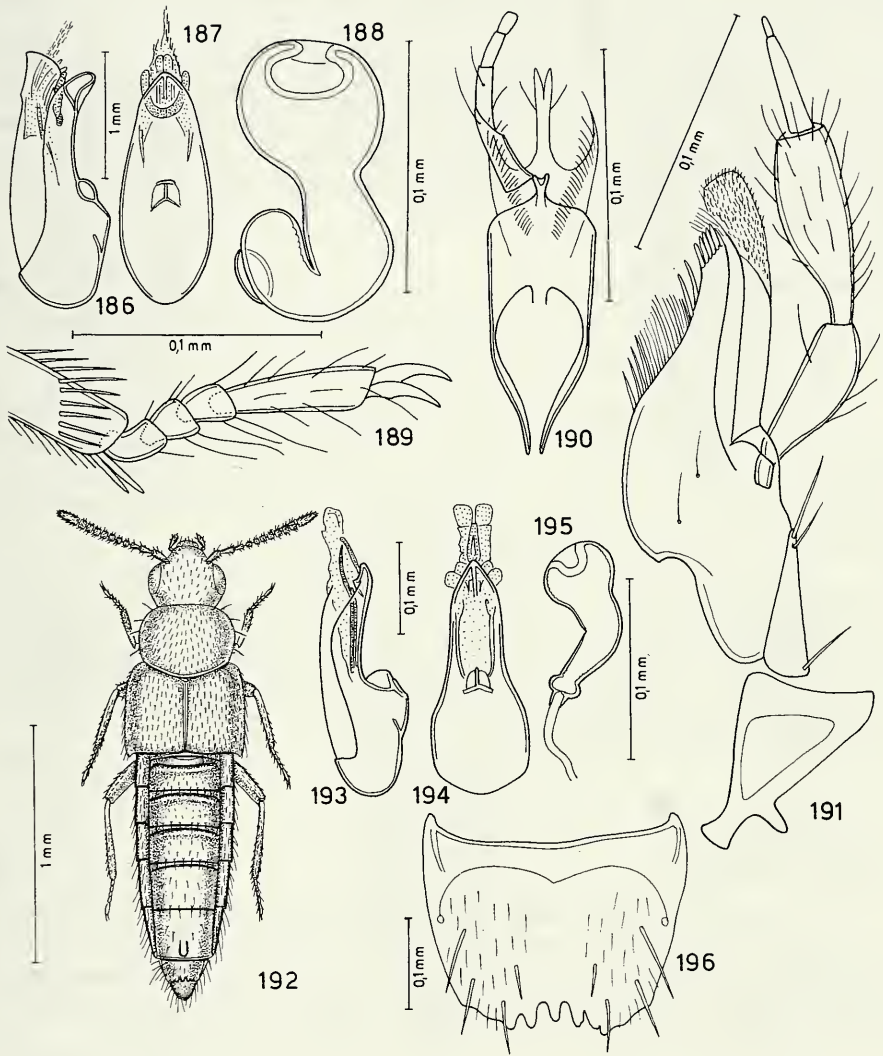
FIGG. 186-196

Edeago in visione laterale e ventrale, spermateca, labio con palpo labiale, maxilla con palpo mascellare, tarsi anteriori, habitus e sesto urotergo libero del maschio. 186-191: *Alloplandria problematica* gen. n., sp. n.; 192-196: *Pseudoplandria fellowesi* sp. n.

del capo e del pronoto è indistinta. Tubercoletti salienti coprono la superficie delle elitre. Il secondo e il quinto degli uroterghi liberi hanno ciascuno una carena mediana, nel maschio. Edeago figg. 200-201.

COMPARAZIONI. L'edeago della nuova specie ha due pliche preapicali ventrali. Le stesse si riscontrano in *P. minima* Cameron, 1941, delle Filippine, ma questa specie ha edeago meno sviluppato e apice (in visione ventrale) a punta largamente arrotondata. Inoltre l'undicesimo antennomero della nuova specie è molto più lungo di quello delle antenne di *minima* e gli occhi sono molto più lunghi delle tempie nella nuova specie e più corti delle tempie in *minima*.

Pseudoplandria neglecta sp. n. Figg. 202-204

Holotypus ♂, China, Yunnan, Xishuangbanna, Mengdian, 26.I.1993, de Rougemont leg. (MHNG).

Paratypi: 1 ♂, Hong Kong, Tai Po, III.1996, de Rougemont leg.

DESCRIZIONE. Lunghezza 2,8 mm. Corpo lucidissimo e bruno con margine posteriore dei due uroterghi basali rossiccio; antenne brune con metà basale degli antennomeri basali 2° e 3° gialla-rossicia; zampe brune. Assente è la reticolazione sul corpo. La puntegaiatura del capo e del pronoto è molto svanita. Tubercoletti poco salienti coprono la superficie delle elitre. Edeago figg. 203-204.

COMPARAZIONI. La nuova specie ha edeago simile e quello di *P. ruficollis* Cameron, 1928, del Borneo, ma le sue dimensioni sono minori, è più arcuato al lato ventrale e ha il bulbo basale meno dilatato, sicché la "crista apicalis" è lontana dal fondo dell'incavo ventrale dell'edeago stesso ("crista apicalis" vicinissima all'incavo ventrale in *ruficollis*). Inoltre i penultimi antennomeri della nuova specie sono nettamente trasversi, mentre in *ruficollis* lo sono appena.

ALEOCHARINI

Ystrixoxygymna gen. n. Figg. 205-212

DIAGNOSI. Per i caratteri delle parti boccali, il nuovo genere può essere tassonomicamente vicino al genere *Tetrasticta* Kraatz, 1857, dello Sri Lanka, ma il corpo è privo di pubescenza e ha lunghe e robuste setole isolate e l'addome è fortemente ristretto all'indietro, al contrario di quanto si riscontra nel genere *Tetrasticta* che ha addome non fortemente ristretto all'indietro e corpo coperto di pubescenza, sebbene rada.

DESCRIZIONE. Corpo nudo, con isolate lunghissime setole; antenne fusiformi di 11 antennomeri; tempie finemente marginate; palpi labiali di 4 articoli (fig. 208); ligula divisa in due lembi; paraglosse sporgenti in avanti; mento stretto (fig. 212); palpi mascellari di 5 articoli (fig. 211); processo mesosternale tronco; mesocoxe largamente separate tra loro; formula tarsale 5-5-5; primo tarsomero posteriore di poco più lungo del seguente.

TYPUS GENERIS: *Ystrixoxygymna fusicornis* sp. n.

ETIMOLOGIA. Il nome del nuovo genere significa "Istrice acuta e nuda". Genere grammaticale femminile.
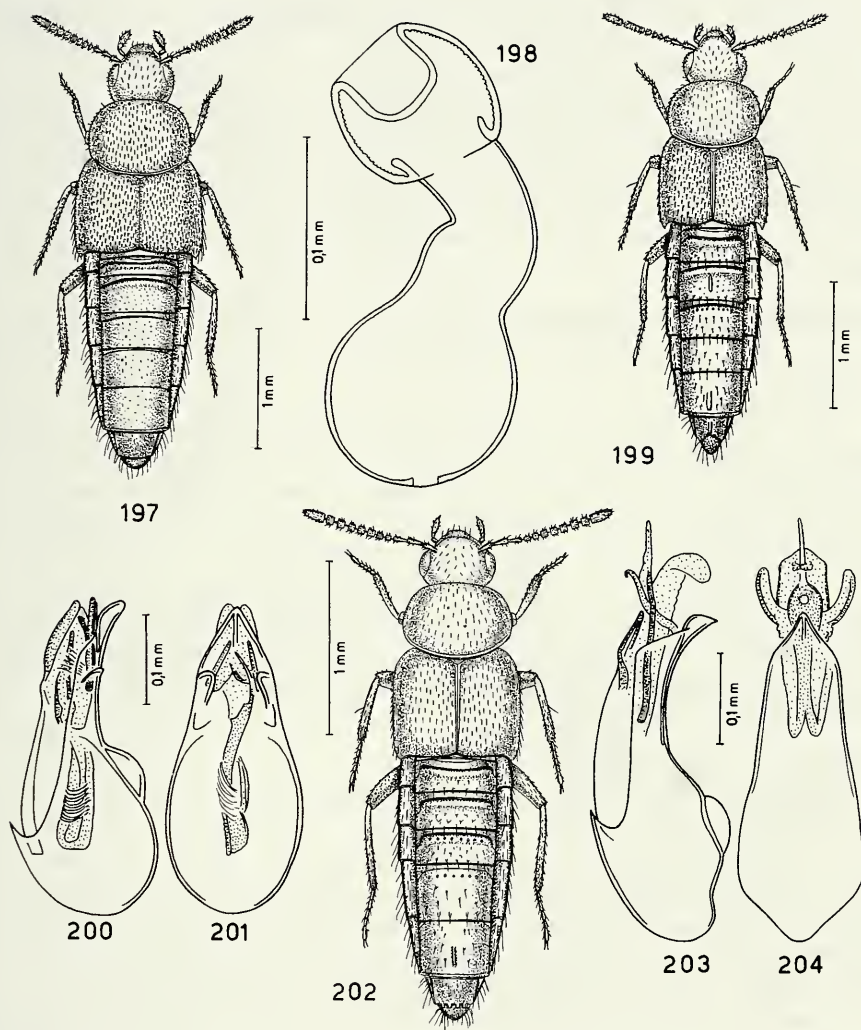
FIGG. 197-204

Habitus, spermateca ed edeago in visione laterale e ventrale. 197-198: *Pseudoplandria anjiensis* sp. n.; 199-201: *Pseudoplandria rougemonti* sp. n.; 202-204: *Pseudoplandria neglecta* sp. n.

Ystrixoxygymna fusicornis sp. n. Figg. 205-212

Holotypus ♂, Hong Kong N.T., Tai Po, VII.1996, de Rougemont leg. (MHNG).
Paratypus: 1 ♀, Hong Kong, Kadoorie Farm, flight interception trap, 3.XI.1996, de Rougemont leg.

Descrizione. Lunghezza 1,9 mm. Corpo lucido e giallo-bruno con lati del pronoto gialli (perché traslucidi) e con zona mediana bruna degli uroterghi liberi 3°, 4° e 5°; antenne giallo-brune con antennomeri basali 2° e 3° e apice dell'undicesimo gialli; zampe gialle. Il corpo è senza punteggiatura e senza reticolazione. Il pronoto è ampiamente concavo a ciascun lato. Le elitre sono prive di stria suturale. Gli uroterghi sono sollevati al margine posteriore. Le robuste setole sono nere. Edeago figg. 206-207, spermateca fig. 210.

Aleochara (Polychara) beijingensis sp. n. Figg. 213-215

Holotypus ♂, China, Beijing, Xiaolongmen, 1100-1500 m, 1.VII.1993, de Rougemont leg. (MHNG).

Descrizione. Lunghezza 7,0 mm. Corpo lucidissimo e nero con elitre fasciate dagli omeri al margine posteriore di rossiccio; antenne nere; zampe nere con tarsi bruni. La punteggiatura del capo è fine e distinta, quella del pronoto è doppia composta da punti grandi e netti e da punti finissimi e svaniti. I tubercoletti che coprono la superficie delle elitre e dell'addome sono salienti. Edeago figg. 214-215.

Comparazioni. La nuova specie è distinta da *A. asiatica* Kraatz, 1859, dello Sri Lanka, per l'edeago appena arcuato al lato ventrale (distintamente arcuato in *asiatica*) e molto più stretto in visione ventrale. La fascia obliqua rossiccia sulle nere elitre della nuova specie è il carattere esterno più evidente che la distingue da *asiatica* che ha elitre interamente nere.

Aleochara (s. str.) **globus** sp. n. Figg. 216-217

Holotypus ♀, China, Zhejiang Prov., Lin'an County, 350 m, W Tianmu Shan N.R., 16-22.V.1996, J. Cooter leg. (MHNG).

Descrizione. Lunghezza 4,5 mm. Corpo lucido e bruno con elitre giallo-brune e addome rossiccio avente gli uriti liberi 3°, 4° e la metà basale del 5° nero-bruni; antenne nere con i tre antennomeri basali giallo-rossicci; zampe giallo-rossicce. La punteggiatura del capo è ombelicata e distinta, quella del pronoto è molto svanita, quella delle elitre è distinta e quella dell'addome è netta. Spermateca fig. 217.

Comparazioni. La nuova specie è distinta da *A. nigra* Kraatz, 1859, dello Sri Lanka, per avere il bulbo distale della spermateca sferico con introflessione apicale globulare (in *nigra* il bulbo distale è allungato con introflessione apicale conica).

Aleochara (Euryodma) sichuanensis sp. n. Figg. 218-220

Holotypus ♂, China, Sichuan, Gongga Shan, above camp 2, 2800 m, 26.VII.1994, A. Smetana leg. (MHNG).

Descrizione. Lunghezza 5,9 mm. Avancorpo debolmente lucido, addome lucido. Corpo nero pece con addome nero avente il margine posteriore dei tre uroterghi basali e l'estremità addominale bruno-rossicci; antenne nere con i due antennomeri basali bruno-rossicci; zampe di un rossiccio scuro. L'avancorpo è coperto di retico-
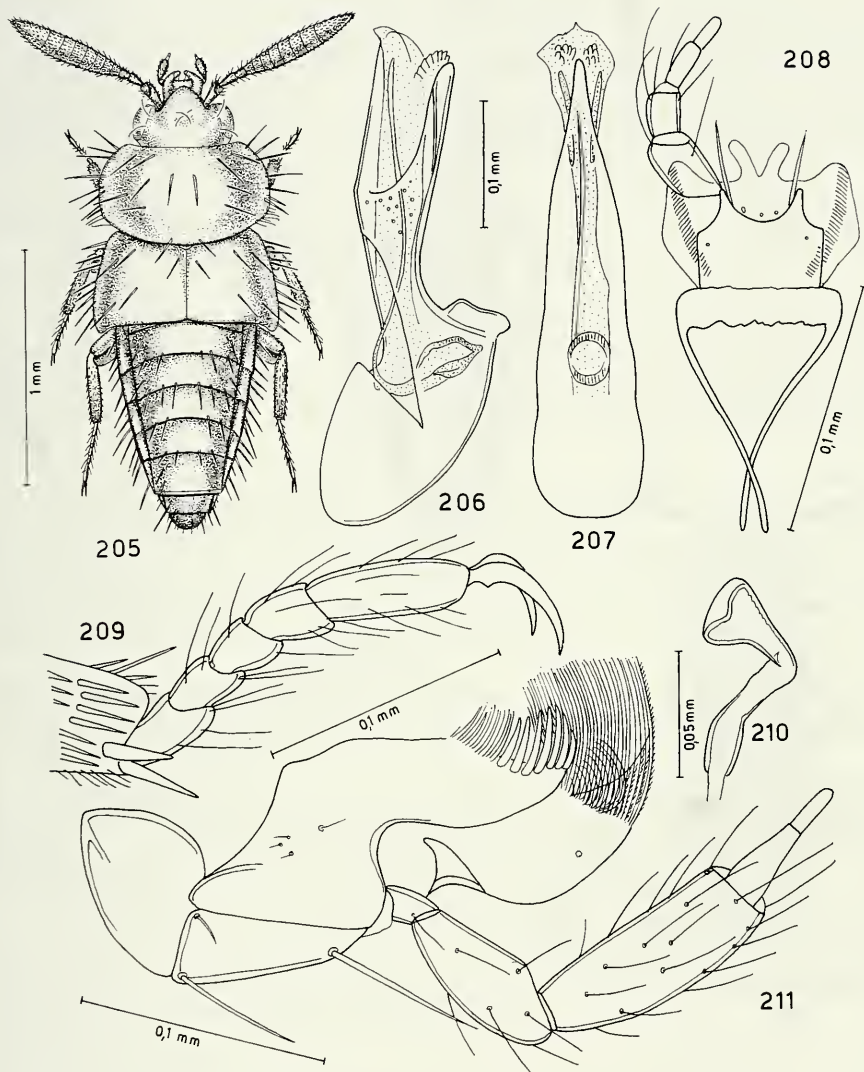
FIGG. 205-211

Habitus, edeago in visione laterale e ventrale, labio con palpo labiale, tarsi anteriori, spermateca e maxilla con palpo mascellare. 205-211: *Ystrixoxygymna fusicornis* gen. n., sp. n.
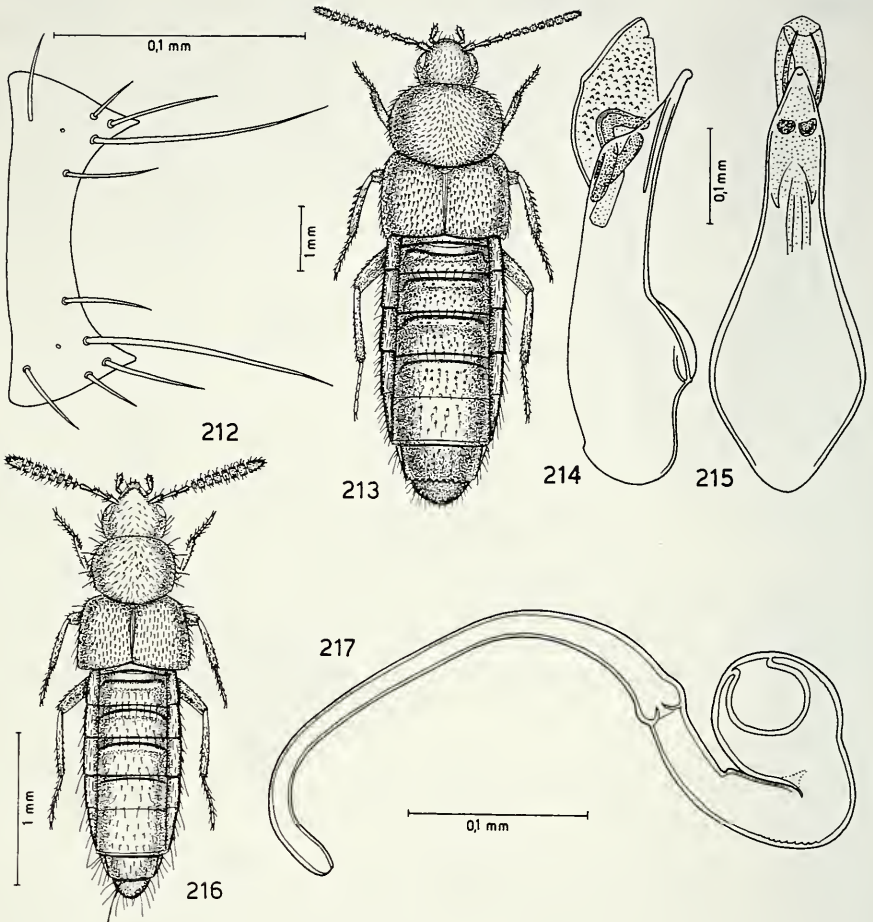
FIGG. 212-217

Mento, habitus, edeago in visione laterale e ventrale e spermateca. 212: *Ystrixoxygymna fusicornis* gen. n., sp. n.; 213-215: *Aleochara (Polychara) beijingensis* sp. n.; 216-217: *Aleochara* (s. str.) *globus* sp. n.

lazione netta, l'addome ne è privo. La punteggiatura del capo è svanita. I tubercoletti della superficie del pronoto e delle elitre sono fini e netti. Edeago figg. 219-220.

COMPARAZIONI. La nuova specie è distinta da *A. croceipennis* Motschulsky, 1858, dello Sri Lanka, per il pronoto poco trasverso e per gli antennomeri 6° a 10° poco trasversi (in *croceipennis* pronoto molto trasverso e antennomeri 6° a 10° pure molto trasversi). L'edeago della nuova specie è più sviluppato ed è molto largo in visione ventrale, mentre quello di *croceipennis*, in visione ventrale, è molto stretto.

Aleochara (Euryodma) cooteri sp. n. Figg. 221-223

Holotypus ♂, China, Zhejiang Prov., Lin'an County, 350 m, W Tianmu Shan N.R., 16-22.V.1996, J. Cooter leg. (MHNG).

DESCRIZIONE. Lunghezza 4,8 mm. Corpo lucido e bruno con capo e base degli uroterghi neri; antenne nere con i due antennomeri basali rossicci; zampe rossicce. Solo sul capo è presente una distinta reticolazione, sul resto del corpo non vi è traccia di reticolazione. L'intero corpo è coperto di punteggiatura netta e profonda. Edeago figg. 222-223.

COMPARAZIONI. La nuova specie per la forma dell'edeago sembra simile ad *A. croceipennis* Motschulsky, 1858, ma la sinuosità ventrale dell'edeago è meno accentuata nella nuova specie, inoltre l'edeago stesso, in visione ventrale, è molto più largo nella nuova specie che in *croceipennis*. Esternamente il capo, il pronoto e le elitre della nuova specie sono robustamente punteggiati, mentre in *croceipennis* la superficie di queste parti del corpo è coperta di tubercoli superficiali.

Aleochara (Euryodma) beijingorum sp. n. Figg. 224-225

Holotypus ♂, China, Beijing, Xiaolongmen, 1100-1500 m, 1.X.1993, de Rougemont leg. (MHNG).

DESCRIZIONE. Lunghezza 3,7 mm. Corpo lucidissimo e nero con una macchia giallo-bruna sulla metà posteriore di ciascuna elitra; antenne nere; zampe bruno-rossicce. La punteggiatura del capo è distinta e assente sulla fascia mediana, quella del pronoto è netta. Tubercoletti salienti coprono la superficie delle elitre. Spermateca fig. 225.

COMPARAZIONI. La nuova specie è distinta da *A. croceipennis* Motschulsky, 1858, dello Sri Lanka, per la presenza di una macchia giallo-bruna sulle elitre nere, assente in *croceipennis*, per le elitre meno trasverse e per l'assenza di punteggiatura allungata sugli uroterghi liberi terzo, quarto e quinto.

RINGRAZIAMENTI

Rivolgo i miei più sentiti ringraziamenti a coloro che mi hanno affidato in studio le Aleocharinae della Cina oggetto del presente lavoro e frutto di recenti raccolte: il collega Guillaume de Rougemont di Londra, il Dr. Ales Smetana di Ottawa, Jonathan Cooter di Hereford (Gran Bretagna), Garry Ades, Graham Reels (Hong Kong) e il Dr. Shuqiang Li di Stuttgard. Per il prestito di tipi e di materiale di confronto ringrazio sentitamente il Dr. A.F. Newton del "Field Museum of Natural History" di Chicago, il Dr. P.M. Hammond del "Natural History Museum" di Londra e il Dr. L. Zerche del D.E.I. di Eberswalde.
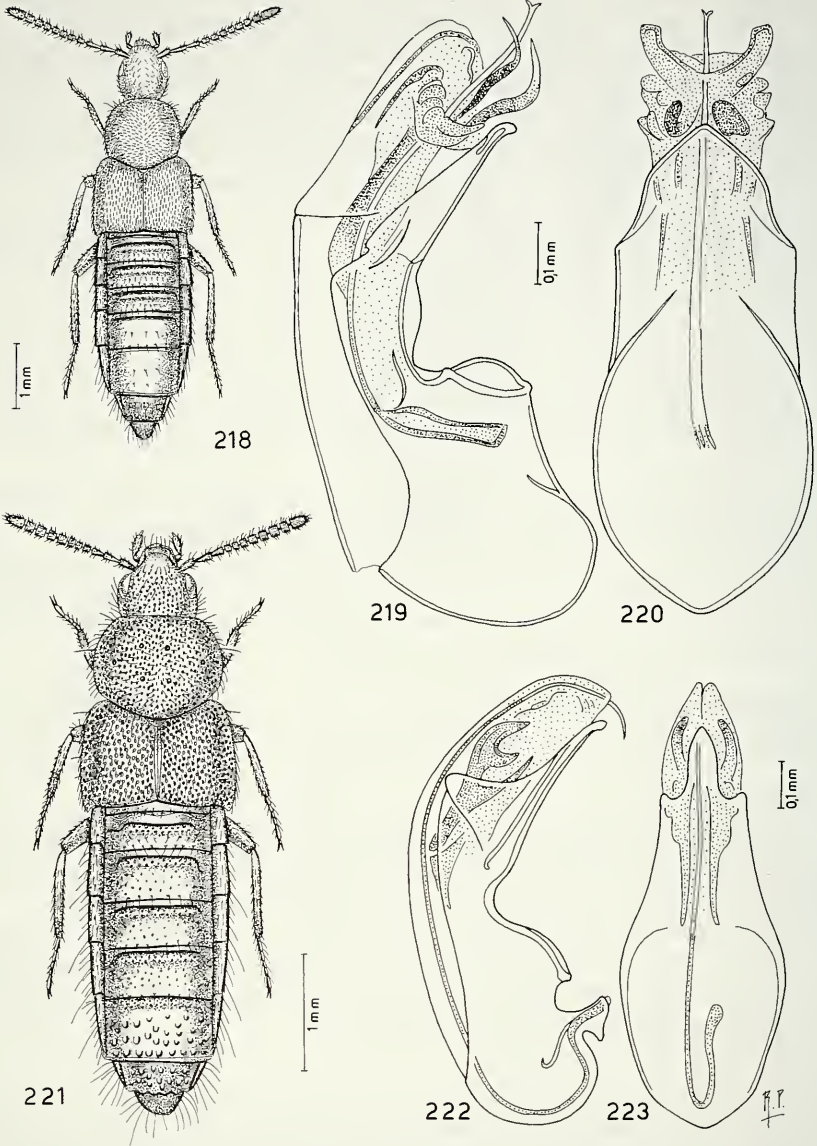
FIGG. 218-223

Habitus ed edeago in visione laterale e ventrale. 218-220: *Aleochara (Euryodma) sichuanensis* sp. n.; 221-223: *Aleochara (Euryodma) cooteri* sp. n.
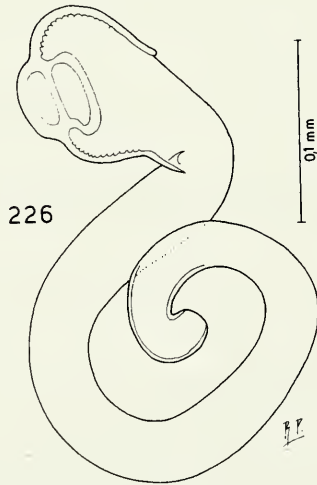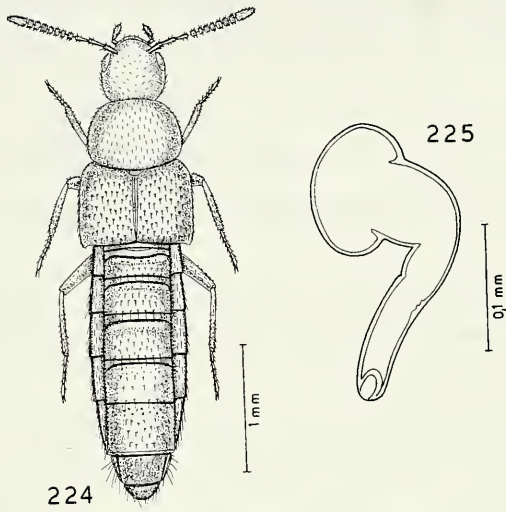
FIGG. 224-226

Habitus e spermateca. 224-225: *Aleochara (Euryodma) beijingensis* sp. n.; 226: *Oxypoda (Demosoma) pekinensis* sp. n.

BIBLIOGRAFIA

BLACKWELDER, R.E. 1952. The generic names of the Beetle Family Staphylinidae. Smithsonian Institution. Bulletin 200: 483 pp., *Washington.*

CAMERON, M. 1928. New species of Staphylinidae from Borneo (Part II). *Sarawak Mus. J.* 3: 413-422.

CAMERON, M. 1939. The Fauna of British India, including Ceylon and Burma. Coleoptera, Staphylinidae 4: 691 pp., *London.*

CAMERON, M. 1941. New Species of Staphylinidae (Col.) from the Philippines. *Ann. Mag. nat. Hist. London* 7: 473-496.

ERICHSON, W.F. 1839. Genera et Species Styphylinorum Insectorum Coleopterorum Familiae 1: 400 pp., *Berlin.*

FENYES, A. 1921. New genera and species of Aleocharinae with a polytomic xynopsis of the tribes. *Bull. Mus. Comp. Zool.* 65: 17-36.

KRAATZ, G. 1857. Beiträge zur Kenntniss der Termitophilen. *Linnaea Entomologica* 11: 44-56.

KRATTZ, G. 1859. Die Staphyliniden-Fauna von Ostindien, insbesondere der Insel Ceylan. *Archiv für Naturgeschichte* 25: 1-196.

MAERKEL, F. 1842. Anfrage und Bitte. *Entomologische Zeitung Stettin* 3: 142-144.

MANNERHEIM, C.G. 1830. Précis d'un nouvel arragement de la Famille des Brachélytres de l'Ordre des Insectes Coléoptères. *Mémoires de l'Académie des Sciences de St. Petersbourg* 1: 415-501.

MOTSCHULSKY, V. 1858. Enumération des nouvelles espèces de Coléoptères rapportées de ses voyages. *Bulletin de la Société Impériale des Naturalistes de Moscou* 3: 204-264.

PACE, R. 1984a. Aleocharinae del Nepal e dell'India settentrionale raccolte dal Prof. H. Franz. III Oxypodini e Aleocharini (Coleoptera, Staphylinidae). *Bollettino della Società entomologica italiana* 116: 151-164.

PACE, R. 1984b. Aleocharinae dell'Himalaya. LI Contributo alla conoscenza delle Aleocharinae (Coleoptera, Staphylinidae). *Annales de la Société entomologique de France* (N.S.) 20: 309-339.

PACE, R. 1990. Aleocharinae delle Filippine. 82° Contributo alla conoscenza delle Aleocharinae. In Berti, N.: Miscellanées sur les Staphylins. *Mémoires du Muséum national d'Histoire naturelle* (A) 147: 57-113.

PACE, R. 1992. Aleocharinae nepalesi del Museo di Ginevra. Parte VII (conclusione): Oxypodini e Aleocharini (Coleoptera, Staphylinidae). *Revue suisse de Zoologie* 99: 263-342.

PACE, R. 1993. Aleocharinae della Cina. *Bollettino del Museo civico di Storia naturale di Verona* 17: 62-126.

PACE, R. 1998a. Aleocharinae della Cina: Parte I. *Revue suisse de Zoologie* 105 (1): 139-220.

PACE, R. 1998b. Aleocharinae della Cina: Parte II. *Revue suisse de Zoologie* 105 (2): 395-463.

PACE, R. 1998c. Aleocharinae della Cina: Parte III. *Revue suisse de Zoologie* 105 (3): 665-732.

PACE, R. 1998d. Aleocharinae della Cina: Parte IV. *Revue suisse de Zoologie* 105 (4): 911-982.

SAWADA, K. 1970. Aleocharinae of the IBP-Station in the Shiga Heights I. *Bulletin of the national Science Museum Tokyo* 13: 21-64.